

MUNI  
MED

# Nanotechnologie a jejich využití v moderní medicíně

Vladan Bernard, Biofyzikální ústav LF MU

M U N I

# Fikce

20 století

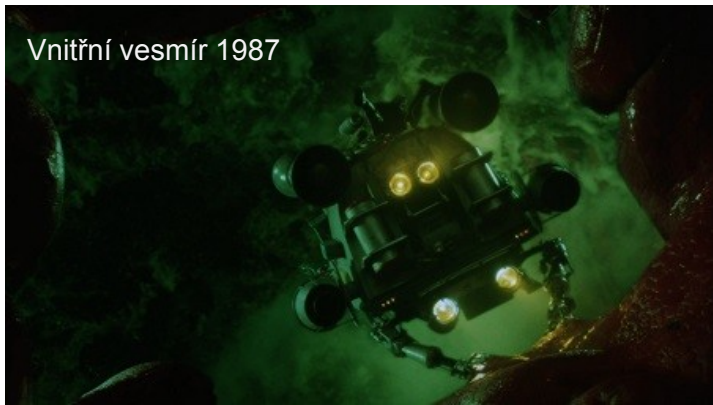


Fantastická cesta 1966



Křeček v noční košili 1987

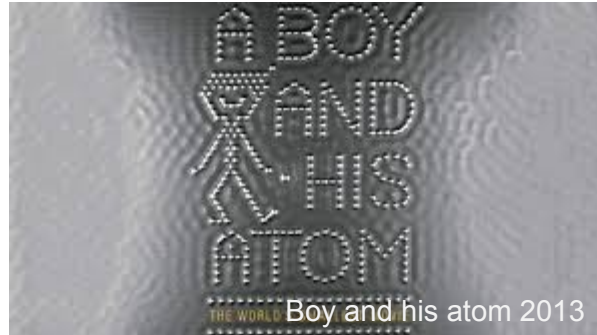
versus



Vnitřní vesmír 1987

# Realita

současnost

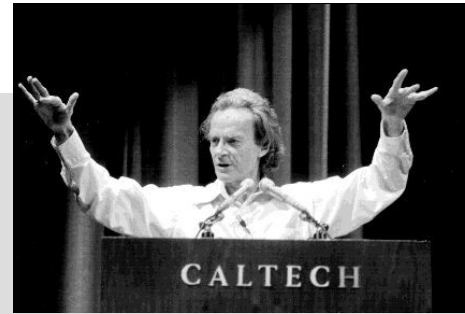


# Úvodem

- Nanotechnologie v medicíně - definice: biomedicínská zařízení v měřítku 1 – 100 nm
- Velmi multidisciplinární problematika
- Příslib:
  - Nové metody pro prevenci, diagnózu a terapii
  - Individuální přizpůsobení léčby pacientovi
  - Nové metody a materiály v laboratorní praxi
- Dynamický vývoj
- Původ slova *nano* můžeme dohledat v řeckém jazyce, kde vávo znamená trpaslík

# Počátky...

- 1959 R. Feynman (1918/88) - „There's plenty room at the bottom“ (*Dole je spousta místa*) - přednáška přednesená na výročním zasedání American Physical Society poukazovala na možnosti manipulace s materiélem na molekulární úrovni



## There's Plenty of Room at the Bottom

*An invitation to enter a new field of physics.*

*by Richard P. Feynman*

I imagine experimental physicists must often look with envy at men like Kamerlingh Onnes, who discovered a field like low temperature, which seems to be bottomless and in which one can go down and down. Such a man is then a leader and has some temporary monopoly in a scientific adventure. Percy Bridgman, in designing a way to obtain higher pressures, opened up another new field and was able to move into it and to lead us all along. The develop-

nothing; that's the most primitive, halting step in the direction I intend to discuss. It is a staggeringly small world that is below. In the year 2000, when they look back at this age, they will wonder why it was not

„Proč bychom nemohli zapsat na špendlíkovou hlavičku všech 24 dílu Encyklopédie Britanniky?“.

\$1000 - 1960/1985

*“There's Plenty of Room at the Bottom” is a transcript of a talk given by Dr. Feynman on December 29 at the annual meeting of the American Physical Society at Caltech.*

*Engineering and Science*

# Průkopníci ...

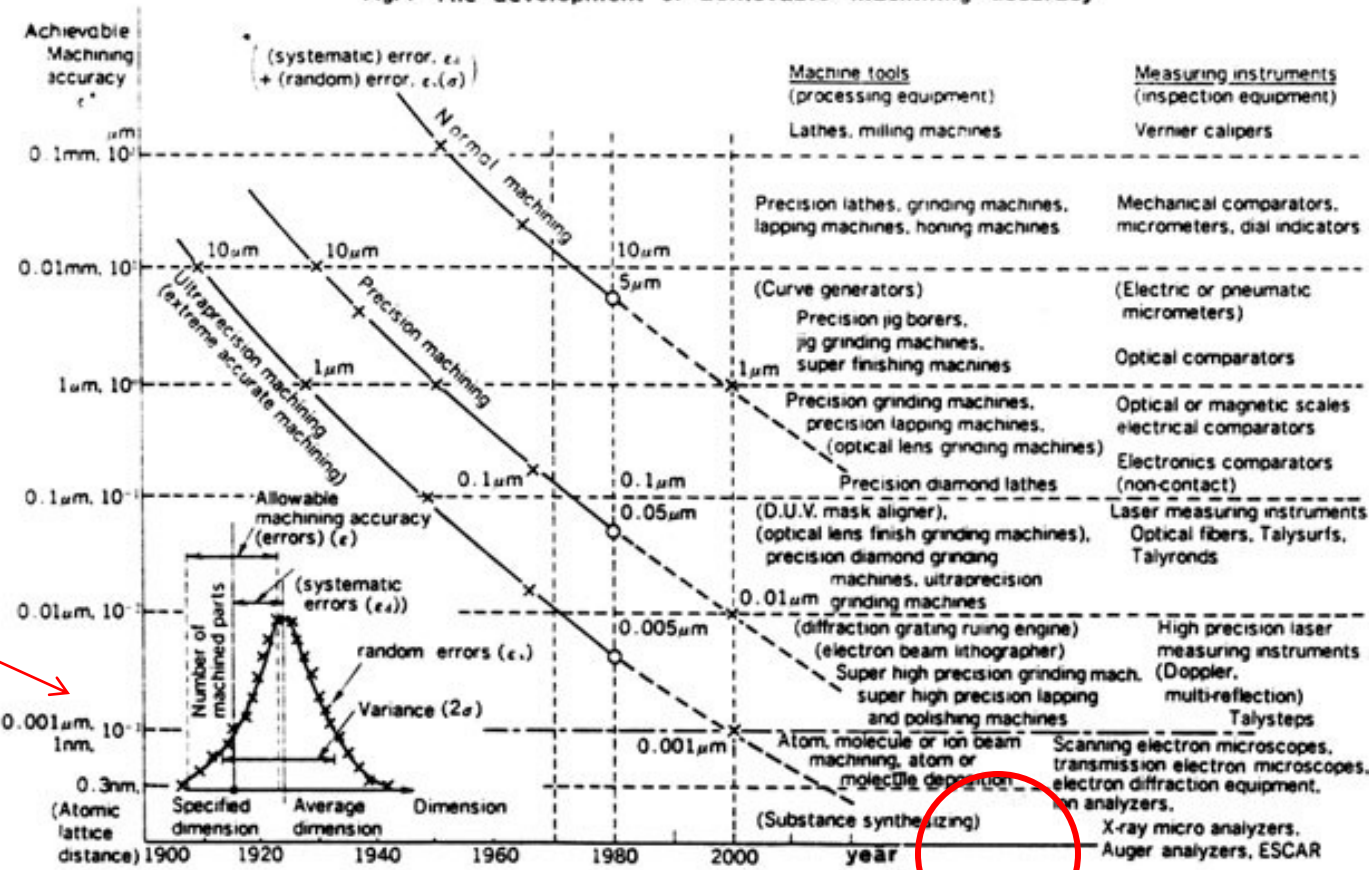
Norio Taniguchi (1912/99)

– Tokijská univerzita – 1974 poprvé použil termín  
nanotechnology – nanotechnologie

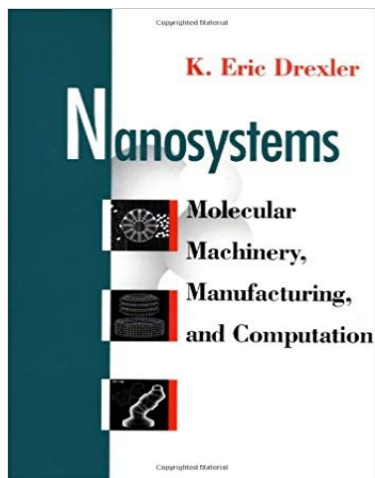
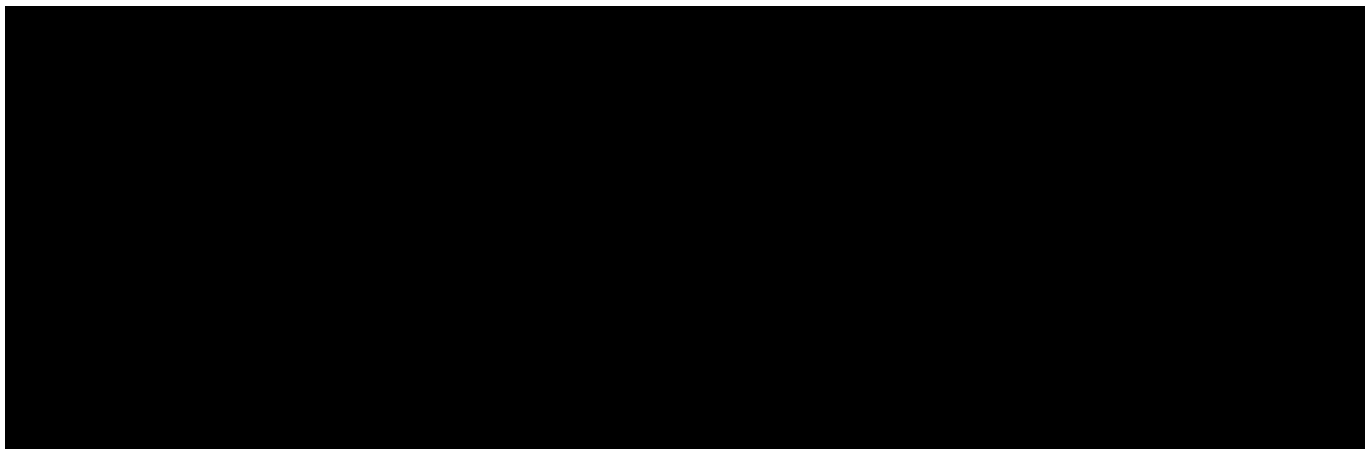
"Nano-technology" mainly consists of the processing of separation,  
consolidation, and deformation of materials by one atom or one molecule."



Fig. 1 The development of achievable machining accuracy



Current status in, and future trends of, ultraprecision machining and ultraline materials processing  
by Norio Taniguchi, Tokyo Science University, Annals of the CIRP Vol. 32/2/1983 page 573



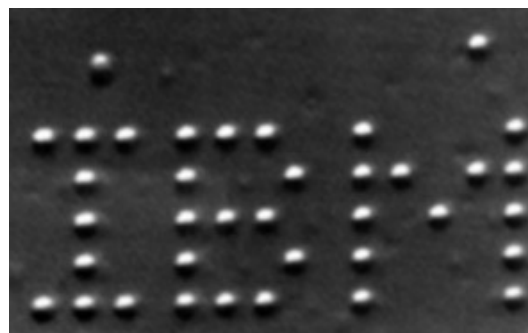
In thinking about nanotechnology today,  
what's most important is understanding  
where it leads, what nanotechnology will look  
like after we reach the assembler  
breakthrough.

- K. Eric Drexler -

[quoteparrot.com](http://quoteparrot.com)

# Komerční sféra ...

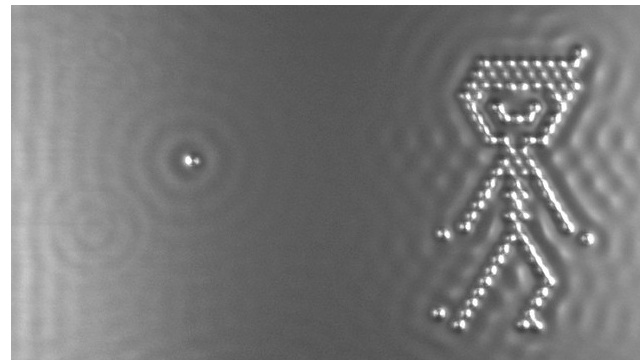
- Mezi prvotní průkopníky na poli výzkumu nanosvěta patří vzpomenout společnost **IBM**, která investovala nemalé finance do jeho rozvoje a komerčního využití.



IBM, 1990 (nikl, xenon,  
skenovací el. mikroskop)

2012 – nejmenší bit magnetické paměti -12 atomů

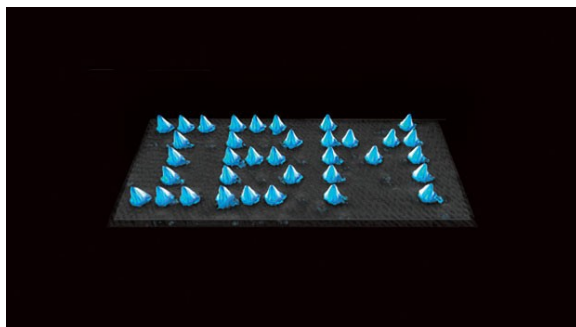
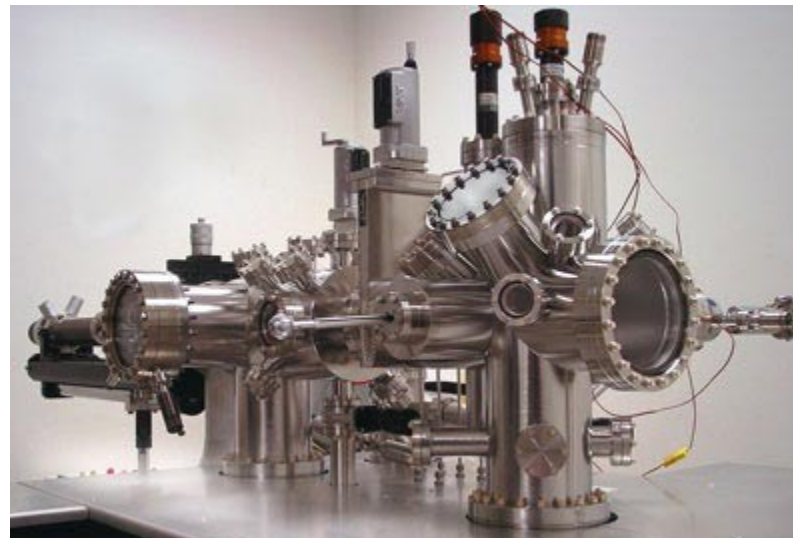
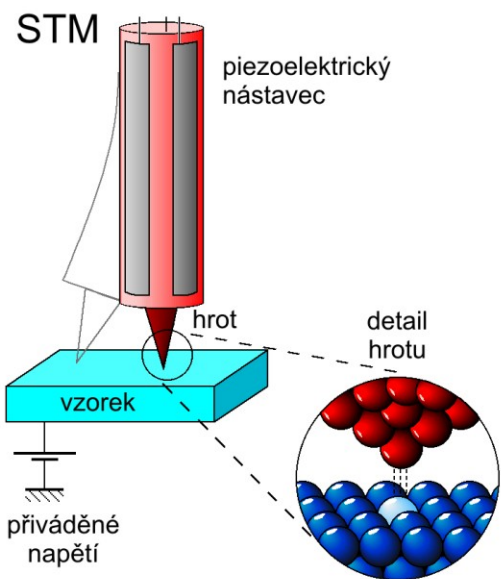
součástí výstupů experimentů „nejmenší film“ pořízený pomocí skenovacího tunelového mikroskopu „A boy and his atom“ 2013  
([www.CSFD.cz](http://www.CSFD.cz) – 63% :c) )



<http://www.youtube.com/watch?v=oSCX78-8-q0>

# Průkopníci ...

IBM - Scanning Tunneling Microscope / řádkovací tunelový mikroskop



IBM.com

# Nano... ve světě, vědě a článcích

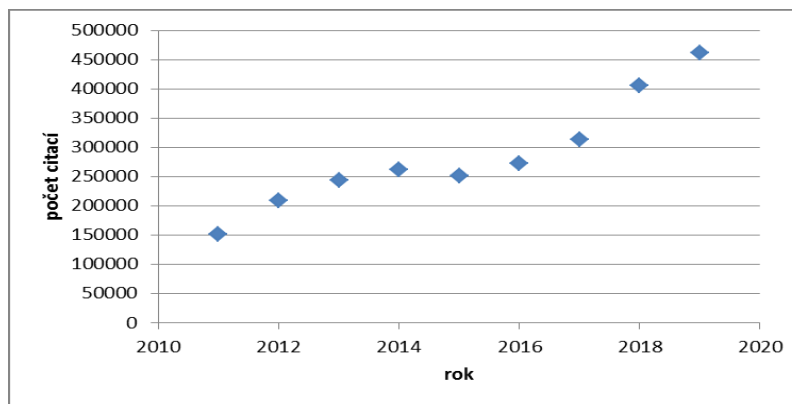
Počty odkazů na vědecké práce (články, knihy) v databázi SCIENCECIRECT k datu 2011 x 2012 x 2013 x 2014 x 2015 x 2016 x 2017 x 2018, 2019, 2020 pro hesla:

**Nano** – 151 x 209 x 244 x 262 x 251 x 272 x 313 x 406 x 461 x 529 tisíc

**Nanomaterials** 23 x 35 x 37 x 47 x 64 x 71 x 85 x 101 x 121 x 147 tisíc

**Nanoparticles** – 90 x 128 x 135 x 167 x 206 x 227 x 266 x 327 x 378 x 443 tisíc

**Brain** - 1.148 x 1.286 x 1.378 x 1.419 x 1.380 x 1.433 x 1.510 x 1.612 x 1.688 x tisíc



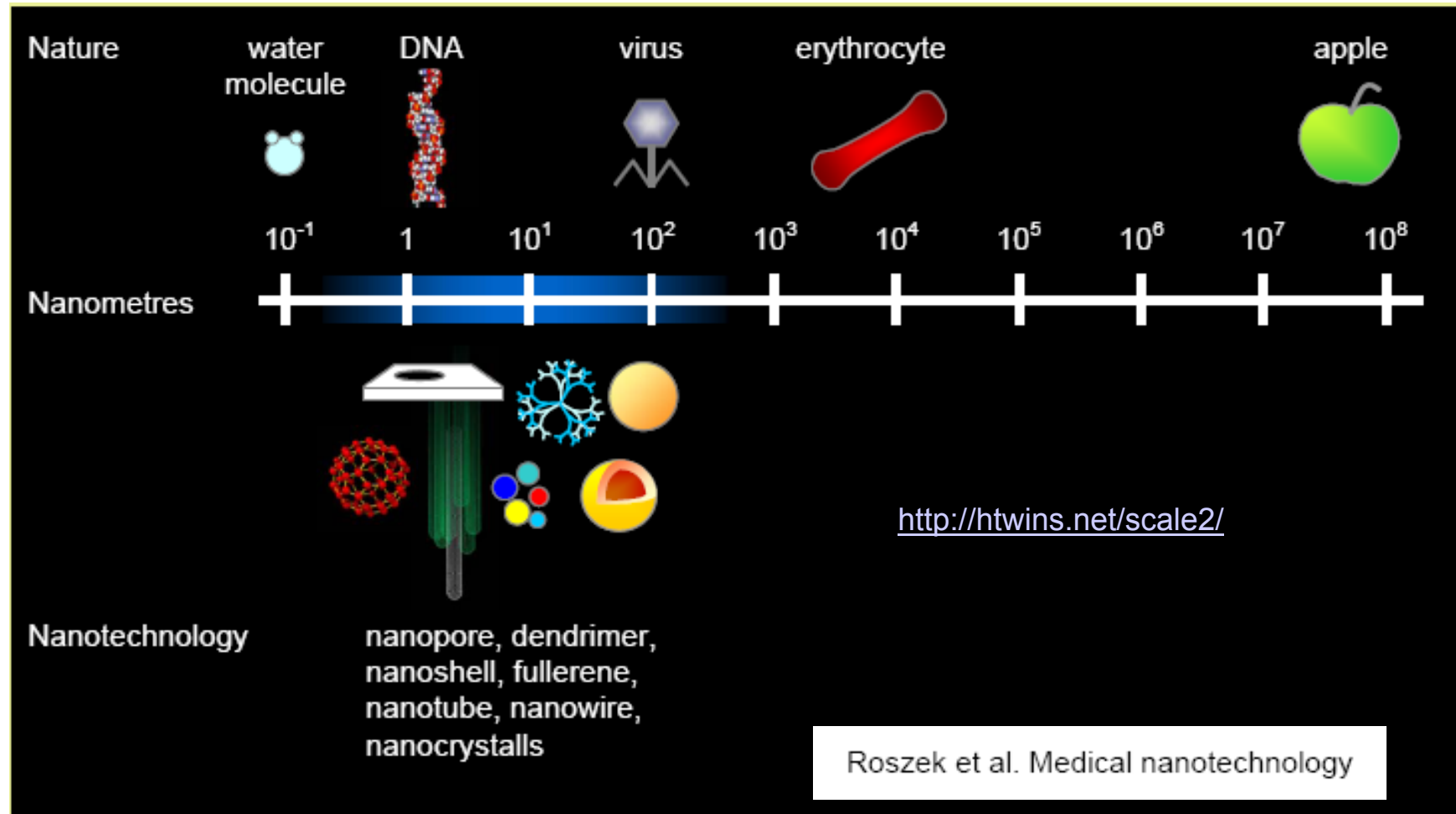
Google k datu 2011, 2012, 2013, 2014, 2015, 2016, 2017, 2018, 2019, 2020 :

**Nanomaterials** – 2 580, 5 230 , 4 720, 5 490, 4 990, 5 420 , 6 320, 15 000, 14 300, 23 900 tisíc

**Nanoparticles** – 5 670, 12 500 , 11 600, 13 500, 12 800, 14 700, 17 000, 29 000, 38 200, 34 000 tisíc

**Brain** – 264 000, 649 000, 605 000, 557 000, 509 000, 526 000, 652 000, 958 000, 1 240 000, 960 000 tisíc

# Jak velký je nanometr?



Nanotechnologie jsou tedy o několik řádů menší než erytrocyt

- „čtiva dostatečné množství
- převážně anglický jazyk
- pozor na věrohodnost zdroje !
- zneužití pojmu nano... „HOAX“

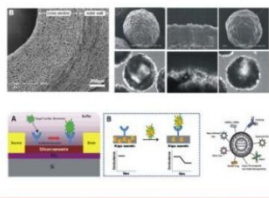
The screenshot shows a web browser displaying the iROZHLAS.cz website. The URL in the address bar is [https://www.irozglas.cz/zpravy-domov/koronavirus-v-cesku-fake-news-rousky-transfuze\\_2102030703\\_pj](https://www.irozglas.cz/zpravy-domov/koronavirus-v-cesku-fake-news-rousky-transfuze_2102030703_pj). The page header includes the iROZHLAS logo in red, the menu bar with links like ČESKÝ ROZHLAS, RADIOŽURNÁL, PLUS, DVOJKA, VLTAVA, WAVE, ŽIVÉ VYSÍLÁNÍ, REGIONY, MUJROZHLAS, and ESHOP, and a weather forecast showing 14°C, OBLAČNO. Below the header is a navigation bar with links for DOMOV, SVĚT, EKONOMIKA, SPORT, KULTURA, VĚDA, KOMENTÁŘE, ŽIVOTNÍ STYL, VOLBY, POČASÍ, and VINOHRADSKÁ 12. The main content area features a large headline in bold black text: "Nebezpečné transfuze, nenošení roušek i vakcíny měnící genom. Podívejte se na fake news o covidu".

Kde se nacházíte: [iROZHLAS.cz](#) / [Zprávy z domova](#) | Související téma: [Česko](#) [Praha](#) [vakcína](#) [očkování](#) [Sputnik V](#) [očkování proti koronaviru](#) [koronavirus](#) [koronavirus Česko](#) [koronavirus v Česku](#) [druhá vlna koronaviru](#) [transfuze](#) [genom](#) [roušky](#) [fake news](#) [dezinformace](#) [hoax](#)

## Nebezpečné transfuze, nenošení roušek i vakcíny měnící genom. Podívejte se na fake news o covidu

... zde mimo jiné zmíněné i neexistující tzv. RNA nanočástice

## Nanomedicine and the Cardiovascular System



Edited by  
Ross J. Hunter  
Victor R. Preedy

Science Publishers

CRC Press  
Taylor & Francis Group

WOODHEAD PUBLISHING IN MATERIALS



## Nanomedicine

Technologies and applications

Edited by T. Webster

CRC Press  
Taylor & Francis Group

PERSPECTIVES IN NANOTECHNOLOGY



## MEDICAL NANOTECHNOLOGY AND NANOMEDICINE



Harry F. Tibbals

CRC Press  
Taylor & Francis Group

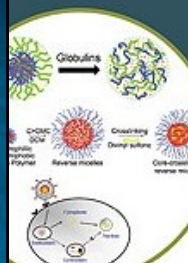
Pan Stanford Series on  
Biomedical Nanotechnology  
Volume 1

## Handbook of Materials for Nanomedicine

Vijay K. Varadan, Linfeng Chen, Jining Xie

## Nanomedicine

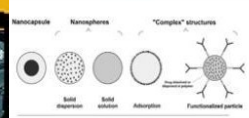
Design and Applications of  
Magnetic Nanomaterials,  
Nanosensors and  
Nanosystems



Orchilin • Mansoor M Amiji  
Editors

WILEY

## Nanomedicine in Health and Disease



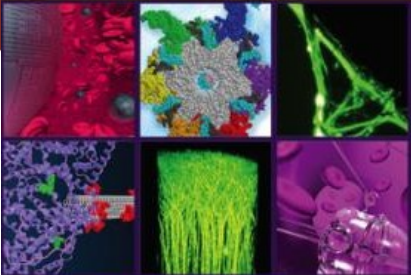
Editors  
Ross J. Hunter  
Victor R. Preedy

Science  
Publishers

CRC Press  
Taylor & Francis Group

ENGINEERING IN MEDICINE & BIOLOGY

Mark J. Schulz, Vesselin N. Shanov, Yeheung Yun | editors

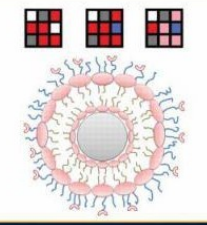


## NANOMEDICINE

DESIGN OF PARTICLES, SENSORS, MOTORS,  
IMPLANTS, ROBOTS, AND DEVICES

## HANDBOOK OF NANOPHYSICS

Nanomedicine and Nanorobotics

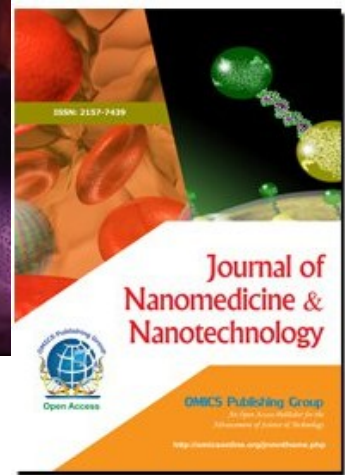
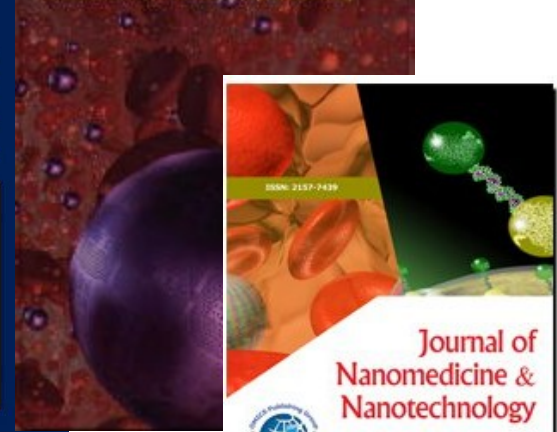


Edited by  
Klaus D. Sattler

CRC Press  
Taylor & Francis Group

## Nanomedicine

Volume II A: Biocompatibility



OMICS Publishing Group

Open Access

ISSN: 2157-7439

http://www.omicsonline.org/nanomed.php

## Nanomedicine

A Systems Engineering Approach

THEME4U.INFO

# Definice nanotechnologie

- ve vývoji, proměnná a poplatná místu a času

**„Nanotechnologie je aplikovanou vědou, která se zabývá výrobou a užíváním takových materiálů a částic, k jejichž vzniku je třeba cílených manipulací na úrovni jednotlivých atomů nebo jejich poměrně malých skupin“.**

Jinou, přesněji charakterizující definicí může být:

**„Nanotechnologie je obor, věnující se manipulacím s hmotou na atomární a molekulární úrovni. Obecně platí, že nanotechnologie se zabývá vývojem materiálů, zařízení nebo jiných struktur majících alespoň jeden rozměr o velikosti 1-100 nm“.**

## Kritéria

- Předmětem zájmu jsou objekty o velikosti menší než 100 nm
- Schopnost manipulace a aktivního využívání těchto útvarů a jejich funkcí
- Odlišné chování nanotechnologie oproti makrosvětu (kvantové jevy, atomární síly, chemické vazby, ...)

[http://www.youtube.com/watch?feature=player\\_embedded&v=J15B8ce\\_BBo](http://www.youtube.com/watch?feature=player_embedded&v=J15B8ce_BBo)

definice dle Medical Device Coordination Group (EU)

NAŘÍZENÍ EVROPSKÉHO PARLAMENTU A RADY (EU) 2017/745 ze dne 5. dubna 2017 o zdravotnických prostředcích, změně směrnice 2001/83/ES, nařízení (ES) č. 178/2002 a nařízení (ES) č. 1223/2009 a o zrušení směrnic Rady 90/385/EHS a 93/42/EHS

- „nanomateriélem“ přírodní materiál, materiál vzniklý jako vedlejší výrobek nebo vyrobený materiál obsahující částice v nesloučeném stavu nebo jako agregát či aglomerát, ve kterém je u 50 % nebo více částic ve velikostním rozdělení jeden nebo více vnějších rozměrů v rozmezí velikosti 1 nm–100 nm; Fullereny, grafenové vločky a jednostěnné uhlíkové nanotrubice s jedním nebo více rozměry pod 1 nm se rovněž považují za nanomateriály;

NAŘÍZENÍ EVROPSKÉHO PARLAMENTU A RADY (EU) 2017/745  
zmíněné na předchozí straně vychází z

„Recommendation on the definition of a nanomaterial 2011/696/EU“

- A natural, incidental or manufactured material containing particles, in an unbound state or as an aggregate or as an agglomerate and where, for 50 % or more of the particles in the number size distribution, one or more external dimensions is in the size range 1 nm - 100 nm.
- In specific cases and where warranted by concerns for the environment, health, safety or competitiveness the number size distribution threshold of 50 % may be replaced by a threshold between 1 and 50 %.
- By derogation from the above, fullerenes, graphene flakes and single wall carbon nanotubes with one or more external dimensions below 1 nm should be considered as nanomaterials.

# Definice nanomedicíny

- je v současné době nejednotná
- Dle ***US National Initiative*** je nanomedicína aplikací nanotechnologií v medicíně
- Definice ***Europe Science Foundation*** je jednoznačnější a říká, že „polem působnosti nanomedicíny jsou věda a diagnostické technologie, léčba a prevence nemocí a zranění vedoucí k zmírnění bolesti, zachování a zlepšení lidského zdraví, pomocí nástrojů a znalostí molekulární úrovni lidského těla“.

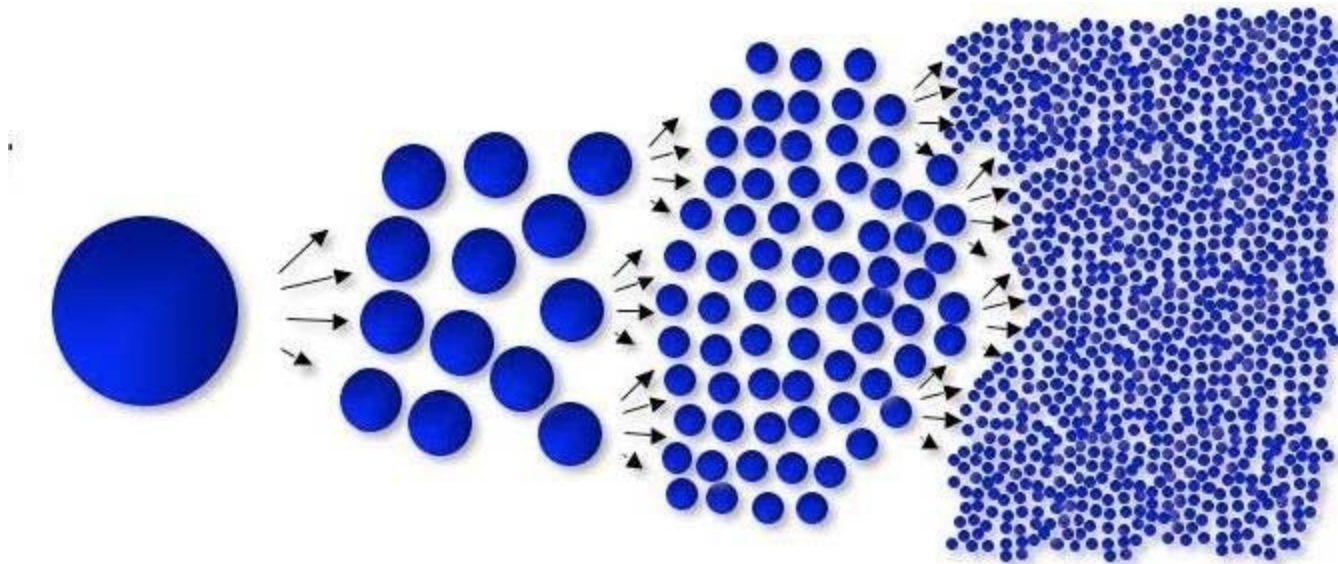
**Nanomedicínu lze obecně definovat jako komplexní monitorování, řízení, opravu, ochranu a zlepšování všech lidských biologických systémů, fungujících na molekulární úrovni – a to pomocí cíleně vytvořených nanozařízení a nanostruktur v konečném důsledku vedoucí k zlepšení zdravotního stavu jedince.**

Vždy poplatné aktuální legislativě

# Nanosvět kontra makrosvět

- **Poměr povrchu ku objemu** nanočástic se stává v případě zmenšování částic **velmi velkým**, díky tomu mají nanočástice dostatečný povrch vhodný pro chemické interakce s biomolekulami. (Bio) chemická reakční doba je v tomto případě mnohem kratší (snižuje se ostře s velikostí vzorku) a díky tomu mohou být např. analytické metody rychlejší a citlivější.
- **Velmi malá velikost snímací /aktivní/ části** (makro- a mikro-) analytického zařízení, např. s nanoelektródami či nanosenzory může vést k miniaturizaci zařízení. Menší zařízení umožňuje nižší invazivitu a výhledově může být dokonce implantováno v těle pacienta. Další výhodou je miniaturizace aktivní části až na úroveň molekuly, což umožňuje např. v případě biosenzorů provést analýzu ve velmi malém objemu vzorku biologického materiálu. To se stává klíčovým prvkem pro analýzu vzorků, které nejsou dostupné v dostatečném množství, příkladem mohou být např. některé biopsie.
- **Významnou roli** z pohledu silového působení hrají v případě nanomateriálů **kohezní síly** (např. interakce vzorku se stěnami kapiláry, malé gravitační síly).

# Povrch vs. objem

**Particle size**

10 cm

1mm

1 $\mu$ m

1 nm

**Surface**

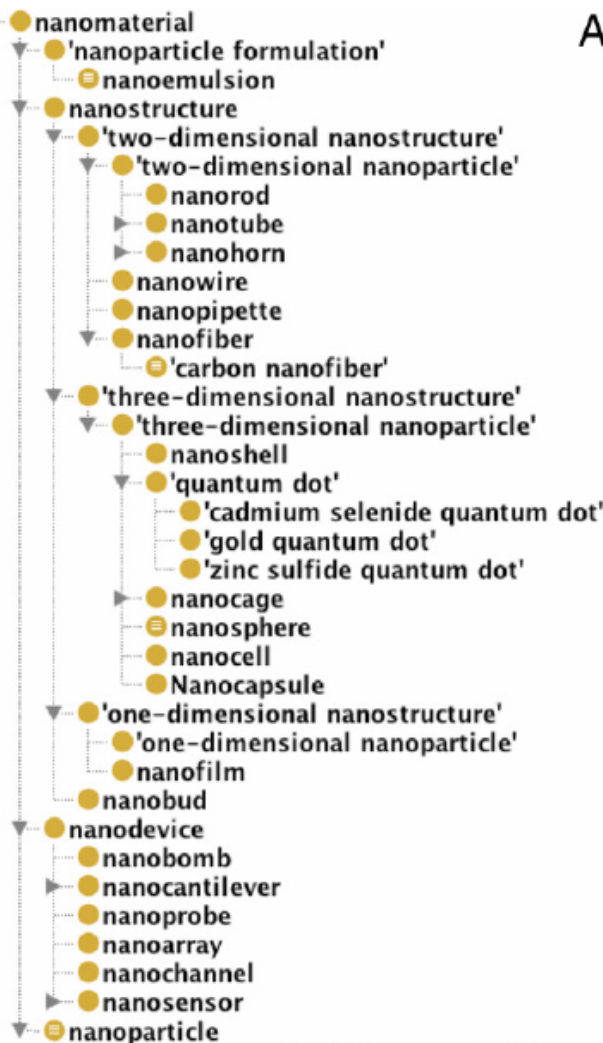
1

100

100.000

100.000.000

# Některé vybrané aplikace a konkrétní příklady nanomateriálů



Kategorizace nanomateriálů využívaných v medicíně a „bio-vědách“ dle autorů D.G. Thomas et al. / Journal of Biomedical Informatics 44 (2011) 59–74

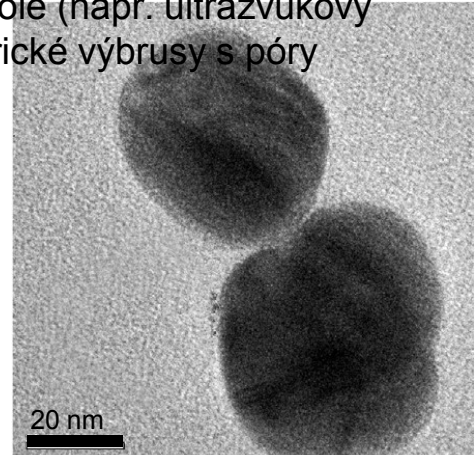
- nanoparticle
  - 'methotrexate-loaded nanoparticle'
  - 'lipid-coated nanoparticle'
  - 'magnetic nanoparticle'
  - 'silica nanoparticle'
  - 'polymeric nanoparticle'
  - 'fluorescent nanoparticle'
  - 'hydrogel nanoparticle'
  - 'metal nanoparticle'
  - 'doxorubicin-loaded nanoparticle'
  - 'titanium oxide nanoparticle'
  - 'inorganic nanoparticle'
  - 'superparamagnetic nanoparticle'
  - 'metal oxide nanoparticle'
  - 'zinc oxide nanoparticle'
  - 'copper oxide nanoparticle'
  - 'spherical nanoparticle'
  - 'lipid nanoparticle'
  - 'gelatin nanoparticle'
  - 'PLGA nanoparticle'
  - 'hydroxyapatite nanoparticle'
  - 'gadolinium-loaded nanoparticle'
  - 'long circulating nanoparticle'
  - 'polymer-coated nanoparticle'
  - 'chitosan nanoparticle'
  - 'drug-loaded nanoparticle'

# Nanoemulze

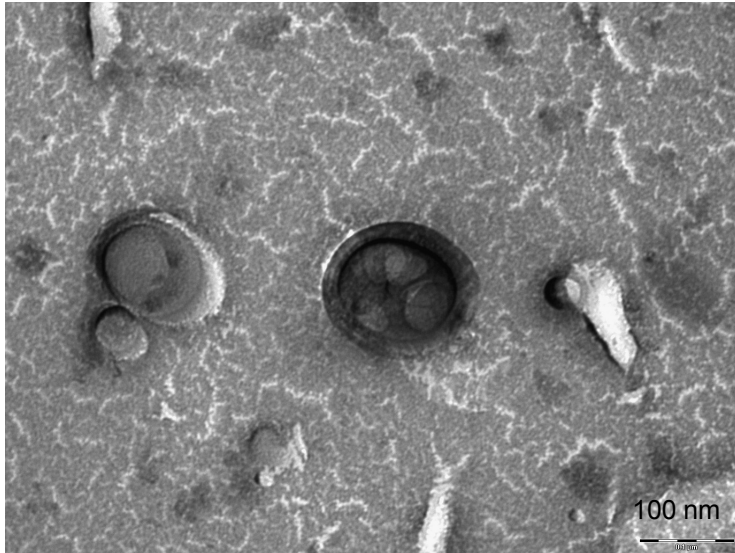
## ZVÝŠENÍ BIODOSTUPNOSTI TĚŽCE ROZPUSTNÝCH LÉČIVÝCH LÁTEK

- Jako nanoemulze jsou označovány disperzní soustavy tvořené kapalným disperzním prostředím a kapalným disperzním podílem, navzájem nemísitelným s velikostí disperzních kapiček pod 100 nm.
- Takovéto nanokapičky (obvykle tuky, oleje) tvořící nanoemulzní soustavu mohou sloužit jako nosiče léčiv či jiných látek (např. vitamínů). Pozitiva – cílené doručení, zvýšená vstřebatelnost
- Příprava nanoemulzí zejména působením ultrazvukového pole (např. ultrazvukový desintegrátor) či „pasírováním“ disperze přes piezoelektrické výbrusy s póry

Řada současných publikací presentuje možnost využití nanoemulzí jako nosičů protinádorových léčiv s cíleným doručením (podmíněno existencí zvýšeného vychytávání např. lipidových kapének nádorovou tkání).



# Nanoemulze



N. Vaškovicová, 2010,  
Biofyzikální ústav Lf MU

Nanoemulze tvořené : disperzní prostředí dest. voda, disperzní podíl lipidů a cholesterol + imunosupresivum, emulgátor alkohol.

---

na trhu dostupná kosmetika:

## Nanoemulze Kérastase

„Speciální, zcela novou technologií připravené složení přípravku, které okamžitě proniká do nitra vlasu. Obsahuje 7 unikátních patentů!

Molekuly nanoemulzi jsou 100 krát menší než mezery mezi šupinkami vlasu a 1500x menší než průřez vlasu.

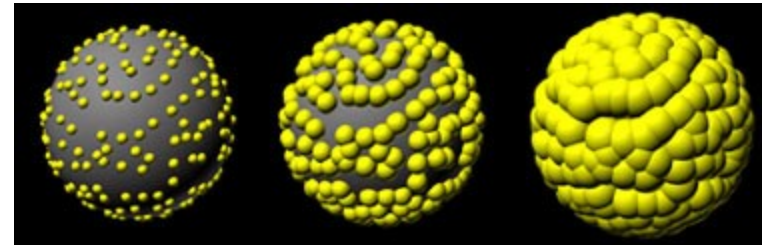
Hloubková péče Kérastase - okamžitá dlouhotrvající intenzivní péče, které vydrží až 5 šamponování.

Inovační nanotechnologie Kérastase umožňuje aktivním složkám proniknout do nitra vlasu, vyživit a intenzivně uhladit vlasové vlákno.“

→ velikost cca 60 nm

# Nanopouzdra, nanokuličky

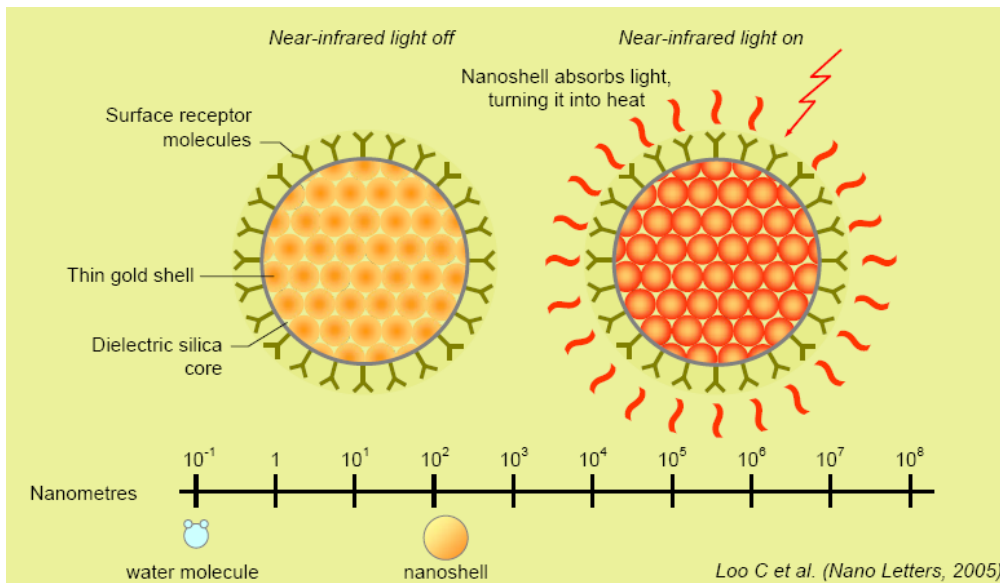
- Příkladem může být **zlaté nanopouzdro**, které je tvořeno kulovitou dutou skořápkou z izolantu obalenou vrstvičkou vodiče o tloušťce několika nanometrů.
- Změnou tloušťky vrstvičky vodiče lze přesně ladit elektrické a optické vlastnosti nanopouzder, např. přinutit je absorbovat pouze určitou vlnovou délku světla – pak nastává vzrůst teploty.



Počítačová simulace ukazuje růst zlatého nanopouzdra: křemenné (skleněné) kulovité jádro je pokrýváno vrstvou zlata. Zlato je biokompatibilní, což je činí užitečným pro mnoho lékařských aplikací.

Courtesy N. Halas

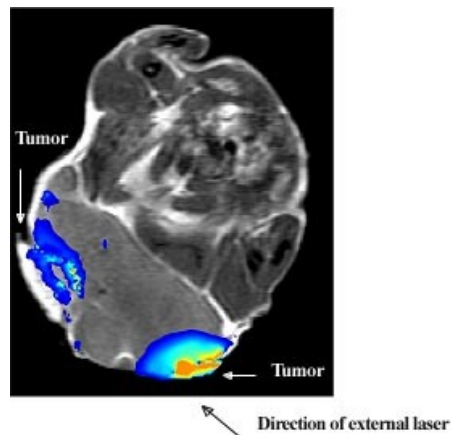
# Nanopouzdra, nanokuličky: Lékařská aplikace –Fototerapeutická ablace nádoru



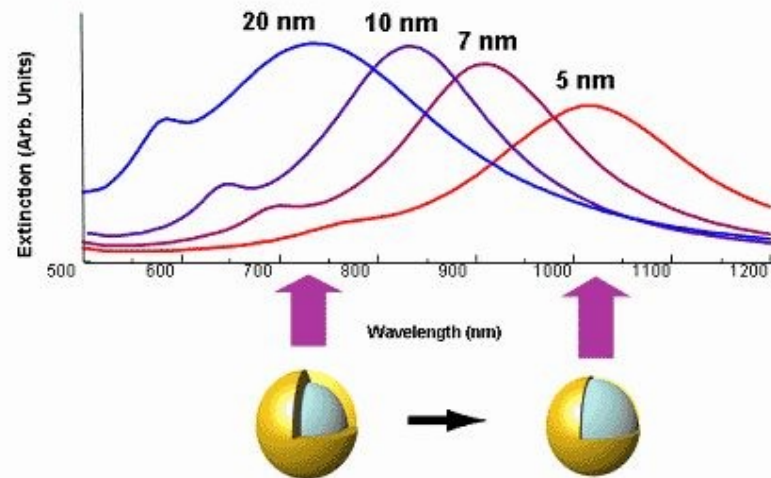
- Nanopouzdro je pokryto receptory, které se vážou na nádorové buňky. Nanopouzdra lze jednoduše injikovat do krevního řečiště. Jakmile se dostanou do nádoru, záření z blízké infračervené oblasti je aplikováno přes kůži (není příliš absorbováno tkáněmi). Nanopouzdra absorbují IR a mění je s velikou účinností v teplo. Proto se teplota bezprostředního okolí nádorových buněk zvyšuje o 10-20 stupňů a buňky odumírají. Výhoda: nulová toxicita (na rozdíl od chemoterapie), žádné ionizující záření (jako při radioterapii).

# Nanopouzdra, nanokuličky ...

Studie s fototermickou ablací nádoru byly prováděny např. výzkumným týmem Jennifer Westové, Houston. Jádro nanokuličky bylo velké 110 nm, zlatý povlak dosahoval tloušťky 10 nm. Aplikací do suspenze nádorových buněk a následným ozářením laserem v oblasti IR došlo ke zvýšení teploty na 55°C a následně k ztrátě viability této buněčné suspenze. Pokusy byly provedeny také s modifikovanými nanokuličkami, jejichž povrch byl upraven navázáním protilátek, které umožňují specifickou vazbu nanokuličky pouze k nádorové buňce kdekoliv v těle.



Dva nádory v těle myši „nasycené“ speciálně vyrobenými „nanokuličkami“ se v těle myši pod vlivem laseru ohřejí (modrá barva zachycuje místa se zvýšenou teplotou) a nádorové buňky hynou.

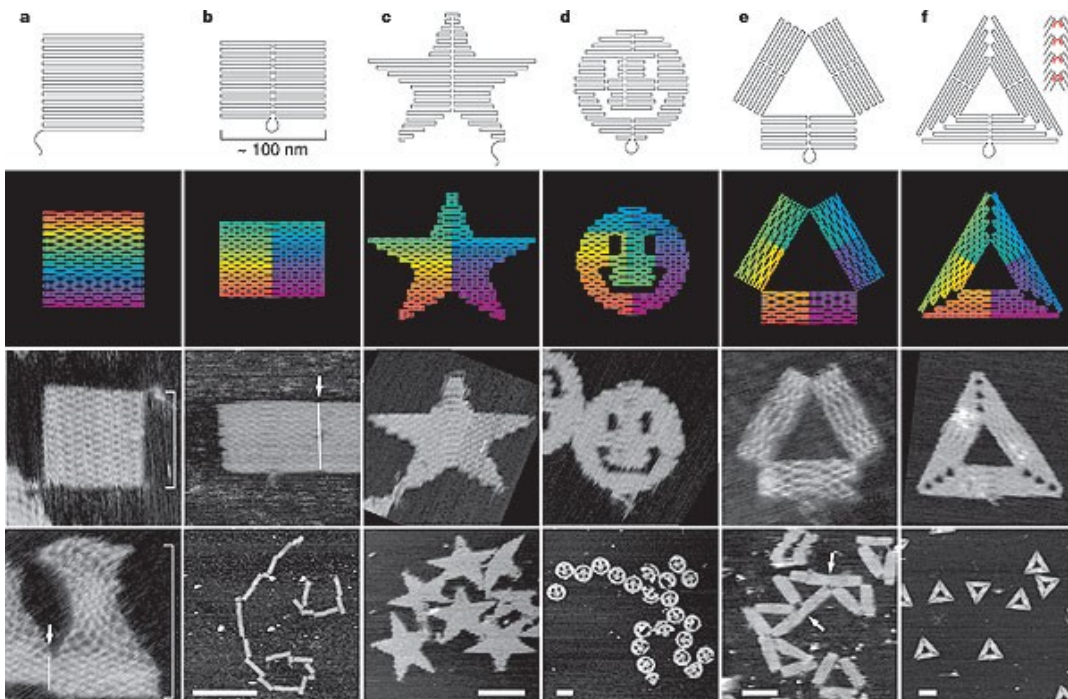


O citlivosti nanokuliček na různé vlnové délky rozhoduje síla zlatého povlaku. Na obrázku jsou výsledky teoretických výpočtů

# DNA origami

Technologie DNA origami, čili skládání dvou a také už i trojrozměrných tvarů z řetězců DNA

- 2D DNA origami. Kredit: Rothemund (2006) Nature.

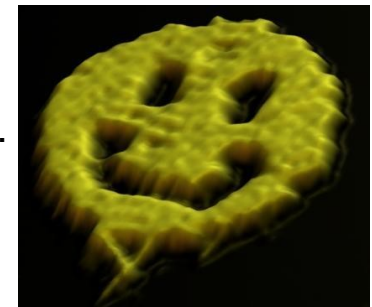


Rok 2014 – použití principu DNA origamů k měření vzdáleností meziefrinového receptoru EphA2, který je významný v některých typech rakoviny – „měřidlo“ vytvořeno z řetězce DNA

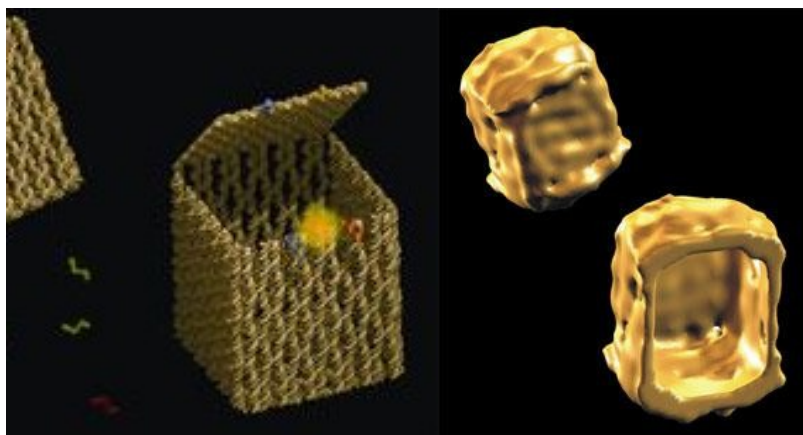
[video](#)

# DNA nanopouzdra

- Základem těchto struktur jsou dvojrozměrná „plátna“ tvořená řetězci molekul DNA. Na tuto matrix lze uchytit další vrstvu komplementárních vláken DNA a tímto tvořit reliéfní struktury.
- Vhodnou kombinací komplementárních vláken DNA lze takovouto plošnou strukturu „poskládat“ např. do tvaru krychle s vnitřní dutinou.



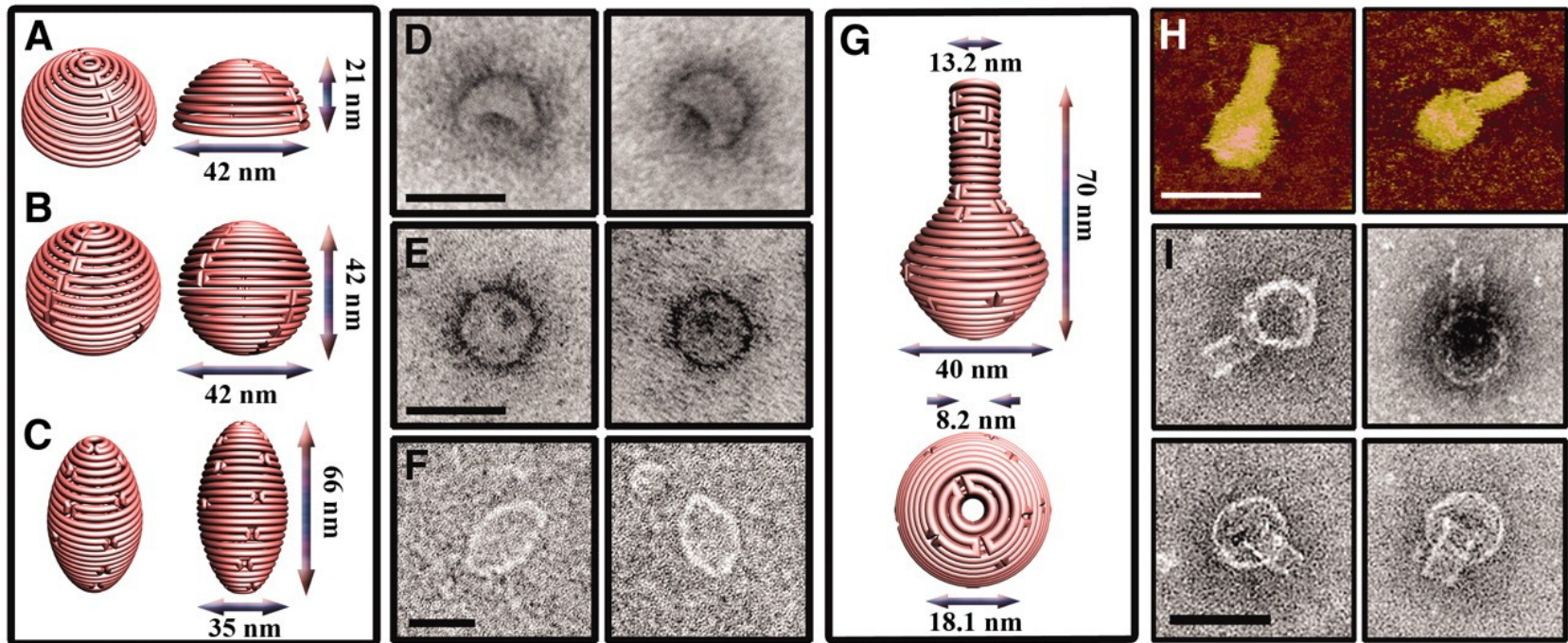
Reliérf vytvořený plošnou strukturou DNA, výška vrstvy 2-4 nm (Nick Papadakis, P.W.K.R)



model 3D struktury a její skutečný kryoelektron mikroskopický obraz (autor obrázku: E S Andersen)

Jednou z možností, je využití těchto struktur jako přenašečů léčiva a jeho cílené doručení otevřením pouzdra pomocí enzymatických zámků.

# DNA nanopouzdra

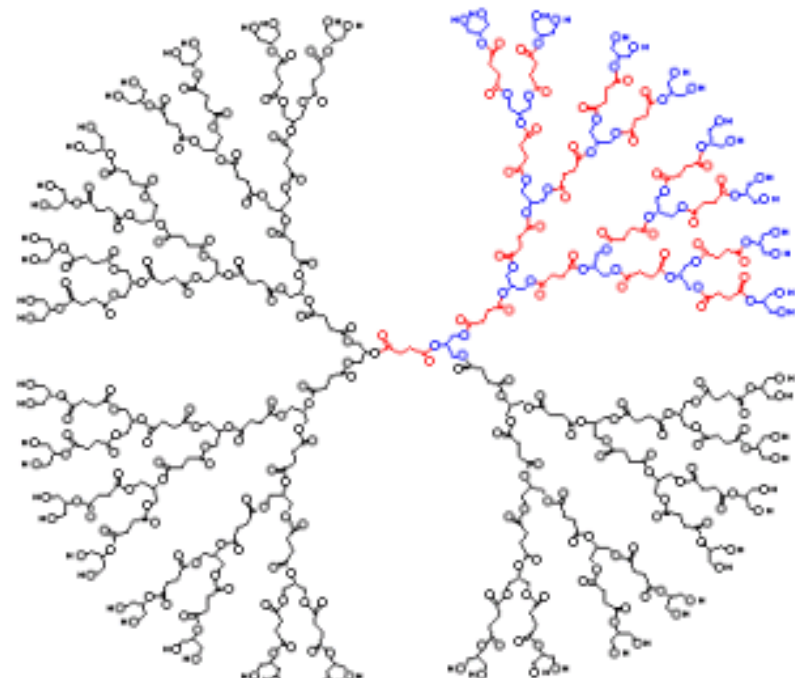


- DNA nanostructures with complex 3D curvatures. (A) Schematic representation of the hemisphere. (B) Schematic representation of the sphere. (C) Schematic representation of the ellipsoid. (D) TEM images of the hemisphere, randomly deposited on TEM grids. The concave surface is visible as a dark area. (E) TEM images of the sphere, randomly deposited on TEM grids. Due to the spherical symmetry, the orientation can not be determined. (F) TEM images of the ellipsoid. The outline of the ellipsoid is visible. Scale bar for the TEM images in (D), (E) and (F) is 50 nm. (G) Schematic representation of the nanoflask. (H) AFM images of the nanoflask. Scale bar is 75 nm. (I) TEM images of the nanoflask, randomly deposited on TEM grids. The cylindrical neck and rounded bottom of the flask are clearly visible in the images. Scale bar is 50 nm.

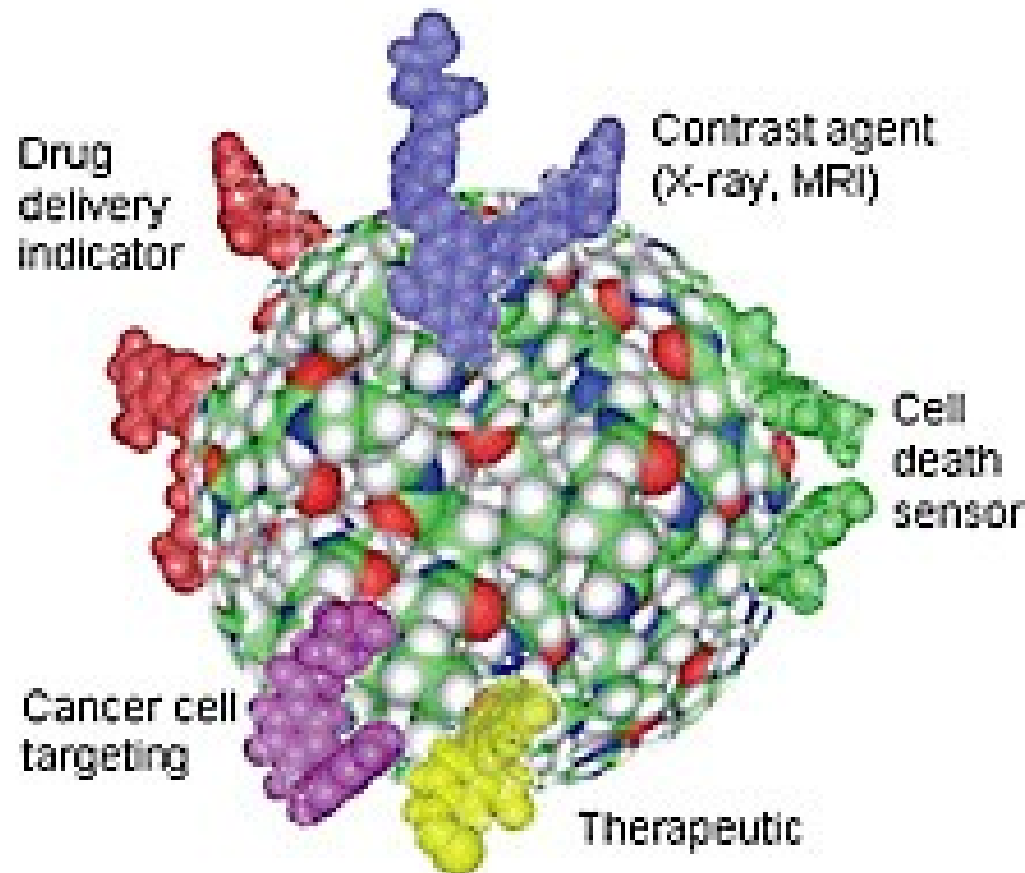
• Han, D. et al. DNA Origami with Complex Curvatures in Three-Dimensional Space. *Science* 332, 342–346 (2011).

# Dendrimery

- Dendrimery jsou polymery globulárního tvaru tvořené větvícími se a opakujícími se jednotkami, které vycházejí z centrálního jádra (jako keřík či sněhová vločka).
- Biodendrimery jsou dendrimery tvořené opakujícími se jednotkami, které jsou biokompatibilní nebo biodegradabilní in vivo na přirozené metabolismy.
- Dutiny nacházející se v dendrimerech mohou být využity jako vazebná místa pro menší molekuly – takto se dendrimer stává efektivním nano-nosičem, nano-nádobkou pro různé molekuly.

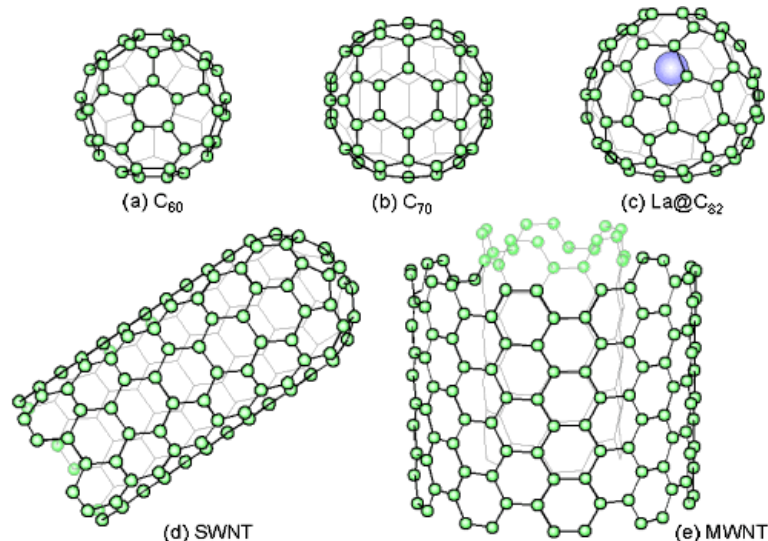


# Dendrimery: Lékařské aplikace – multifunkční nano-nosiče ('platformy')



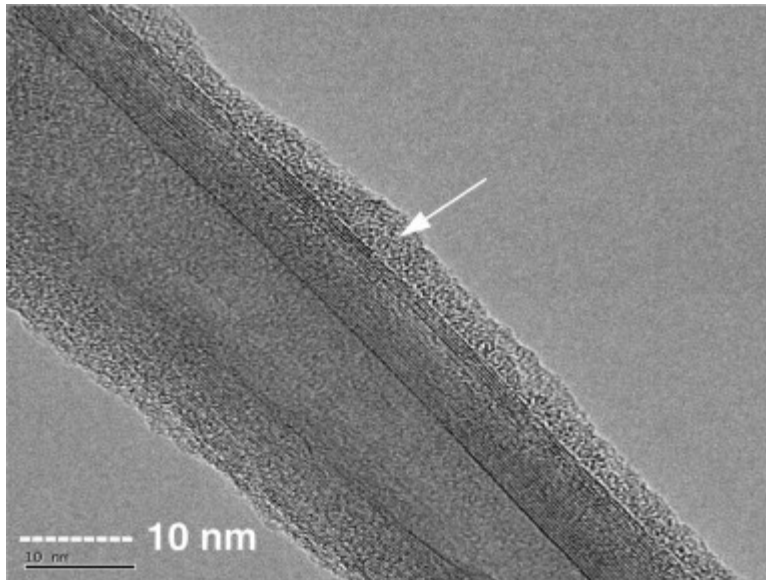
# Fullereny (a nanotrubičky)

- Molekuly tvořené uhlíkovými atomy ve tvaru duté koule, elipsoidu, trubičky nebo prstenu.
- Válcovité fullereny se často nazývají nanotrubičky.
- Nejmenší fulleren je  $C_{60}$  (tj. 60 C atomů) - objev 1985 (70), tvrdší než diamant
- Uvnitř fullerenu mohou být uzavřeny jiné atomy
- SWNT - single walled nanotubes – nanotrubičky s jednoduchou stěnou – cca 1990
- MWNT - multiwall carbon nanotube – nanotrubičky s vícenásobnou stěnou

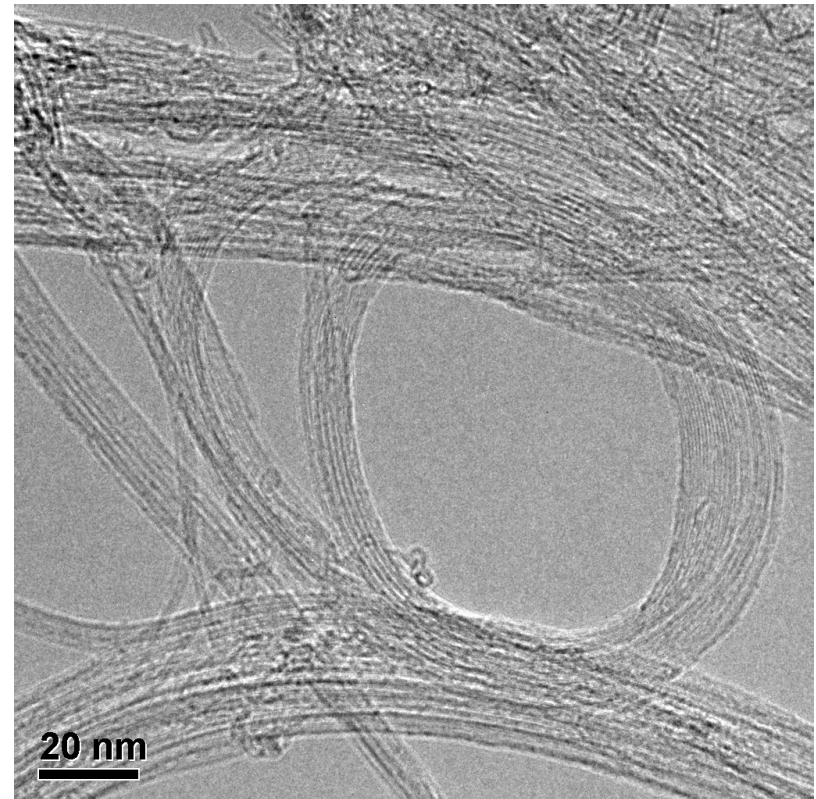


Molekuly s mimořádnou odolností vůči fyzikálním jevům (především tlaku a teplotě). Typická je supravodivost, kterou fullereny vykazují i při teplotách relativně vysoko nad absolutní nulou. Jejich vlastnosti lze jednoduše optimalizovat přidáním jiného prvku do molekuly. Mají také katalytické, antibakteriální a antioxidační účinky. Některé organické deriváty fullerenů se vyznačují též elektrickými a magnetickými vlastnostmi.

# TEM snímek uhlíkové nanotrubičky



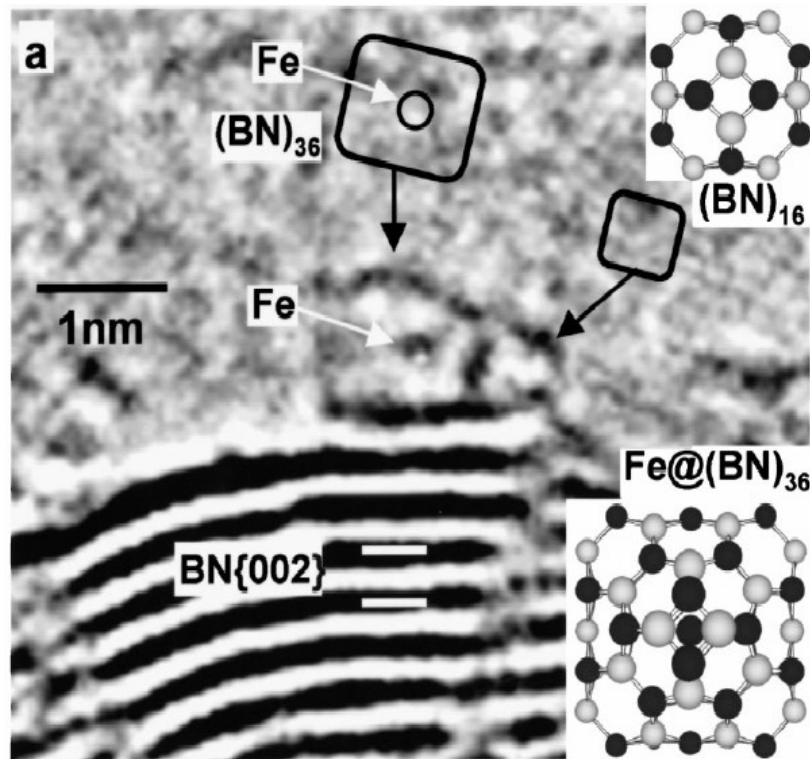
[nanoshel.com](http://nanoshel.com)



Nano-Lab

# Fullereny (a nanotrubíčky)

Tvorba trojrozměrných nanoútvarů není jen doménou uhlíku, tuto schopnost mají i jiné atomy, například molekuly nitridu bóru (BN). Tento materiál také vytváří obdobné útvary jako jsou uhlíkové trubičky, fullereny či prstence, včetně možného uzavření atomu jiného prvku do vytvořeného prostorového útvaru (v tomto případě atom).



*T. Oku et al. / International Journal of Inorganic Materials 3 (2001) 597 –612*

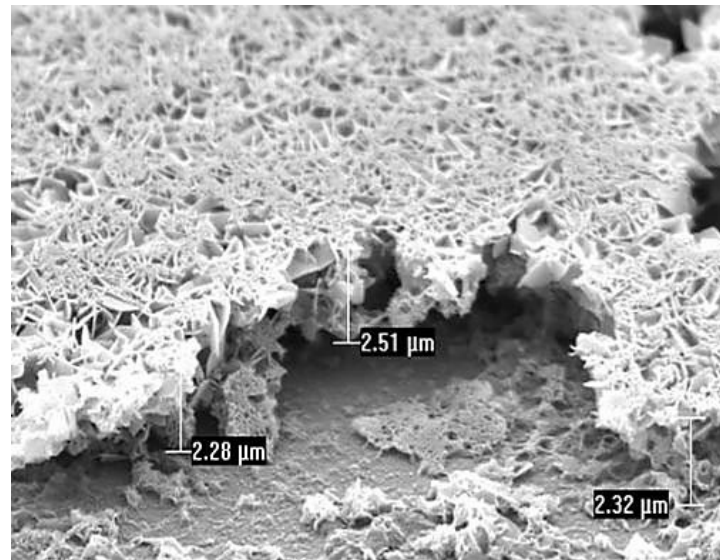
# Fullereny a nanotrubičky: Lékařské využití

- Katétry vyztužené uhlíkovými nanotrubičkami - jsou 5x pružnější než ocel, 100 x vyšší pevnost, 6 x nižší hmotnost než ocel
- Na základě nanotrubiček připravené „studené“ katody (uvolňují elektrony bez potřeby termoemise). Změní konvenční technologii rentgenek, protože nepotřebují velký příkon a jsou mimořádně trvanlivé. Malé rentgenky využívající nanotrubiček budou **použitelné pro intrakavitární terapii a brachyterapii.**
- Fulereny obsahující gadolinium jsou 5x účinnějšími **kontrastními prostředky pro MRI** ve srovnání s nyní používanými.
- Multifunkční platformy: navázání specifických antibiotik na fullereny a jejich zacílení na rezistentní bakterie nebo nádorové buňky – **přenašeče, cílené doručení léčiv.**
- Současné vědecké poznání hodnotí interakci fulereny/nanotrubičky – lidský organismus jako problematickou, z důvodu jejich možné (nevyvrácené) toxicity a v případě např. samostatných nanotrubiček s ohledem na jejich schopnost „napichování“ všech buněčných a subbuněčných struktur

# Nanotubíčky - aplikace (budoucnost?)

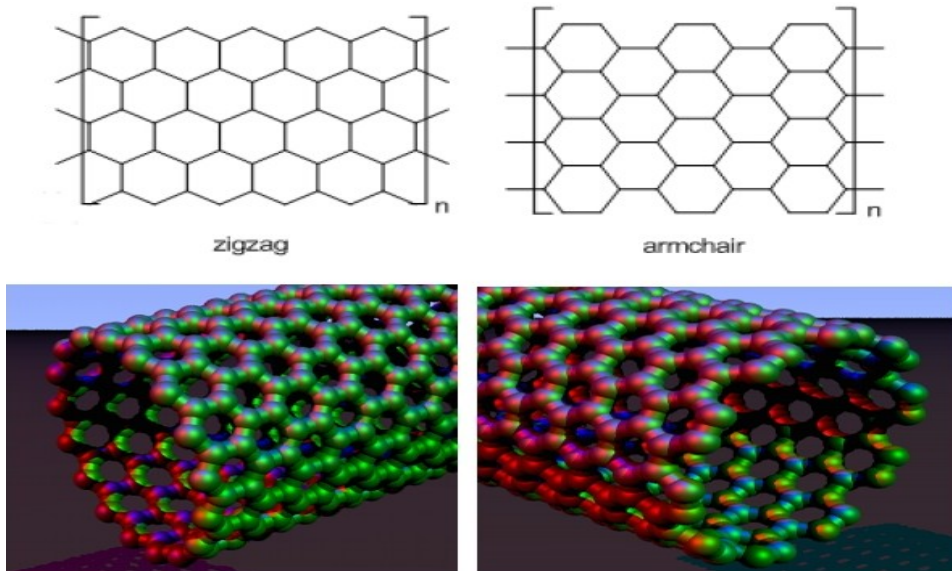
## Kostní tkáň

Využití nanotubíček v lékařství je experimentálně dokázáno v pokusech s náhradami kostní tkáně. V tomto případě tvoří nanotubíčky s povrchem modifikovaným sloučeninami fosforu a síry nahradu kolagenu, na který se váže krystalický hydroxyapatit a tímto vytváří velmi pevnou a kompaktní kostní tkáň. Přínosem této technologie je mnohonásobně vyšší pevnost vytvořených struktur, možnou nevýhodou je dokumentovaná potenciální toxicita fulerénů a odvozených sloučenin (výzkum E. Oberdörster, Southern Methodist University, Dallas, New Scientist, March 2004), kterou lze ale obejít opět modifikací povrchů (např. mol. Fe).



Hydroxyapatit vykrystalizovaný na podkladu z upravených nanotrubek (University of California, osel.cz)

# Nanotrubičky jako vodiče



Podle toho, jak uhlíkovou nanotrubičku stočíte, může vést proud jako kov nebo jako polovodič. A právě vhodně stočená SWCNT může vést elektrický proud skoro stejně dobře jako supravodič. To proto, že se stane „Armchair Quantum Wire“, kvantovým vodičem (dále AQW).

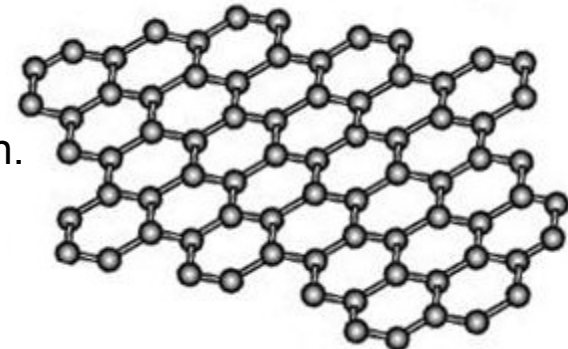
Vše to souvisí s podivnou schopností elektronu za vhodných podmínek se chovat jako dvě kvazičástice, jedna nesoucí elektrický náboj (chargon) a druhá jeho spin (spinon).

Nanotrubičky jsou v současné době nejpevnějším materiélem Průměr SWCNT - Single Wall Carbon NanoTubes je od 1 nm do 50 nm. Elektrické vlastnosti se liší podle uspořádání atomů C v trubce (podle molekulární struktury je ovlivněna orientace vazeb). V závislosti na volbě vazeb mezi uhlíky Z (zigzag) nebo Armchair konfigurace. „Z“ se chová jako kov, „Armchair“ jako polovodič.

# Grafen

- uhlíkatý materiál, jehož jeden rozměr vyhovuje kritériím nanomateriálu

Grafen je tvořený monoatomární vrstvou atomů uhlíku, uspořádaných do struktury šestiúhelníků. Vyniká extrémní pevností a nespecifickým projevem elektronů zde obsažených. Nobelova cena za jeho objev 2010.

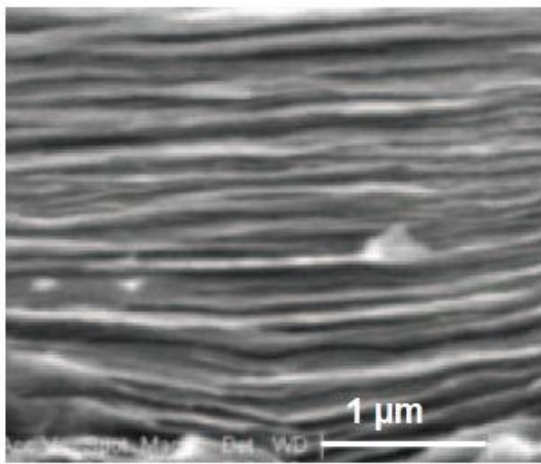
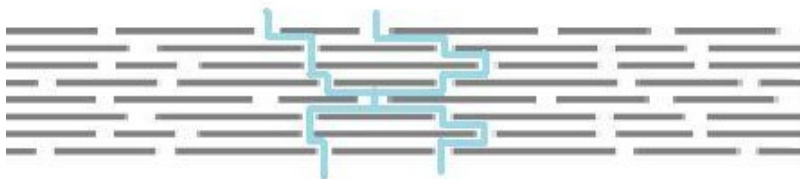


## Grafenové filtry

*„membrány tvořené oxidovaným grafenem mohou být pro kapaliny, páry a plyny, včetně helia zcela nepropustné, ale umožňují volné pronikání vody ( $H_2O$  prosakuje přes membránu nejméně  $10^{10}$  krát rychleji než helium). Tato zdánlivě rozporná pozorování připisujeme na vrub nízkému tření při toku jednomolekulárni vrstvy vody přes dvojrozměrné kapiláry, které mezi sebou vytvářejí těsně na sebe naskládané vrstvy grafenu. Difuzi dalších molekul blokuje vratné (reverzibilní) zúžení kapilár při nízké vlhkosti nebo jejich ucpání vodou ...“ R. Nair et al., Science 2012*

# Grafen - filtrace

vrstevnatá struktura grafenu tvořící filtrační prostředí

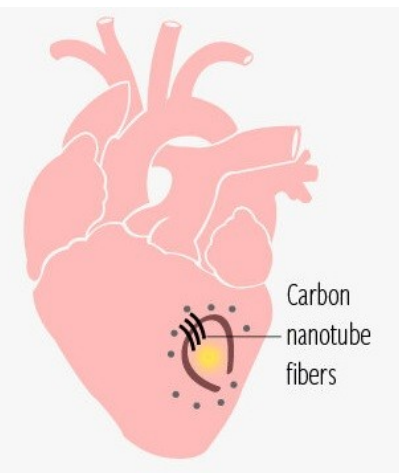
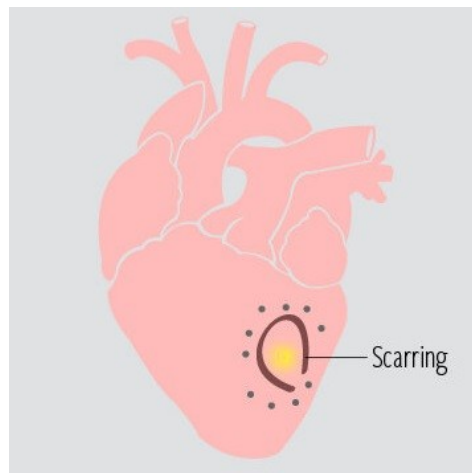
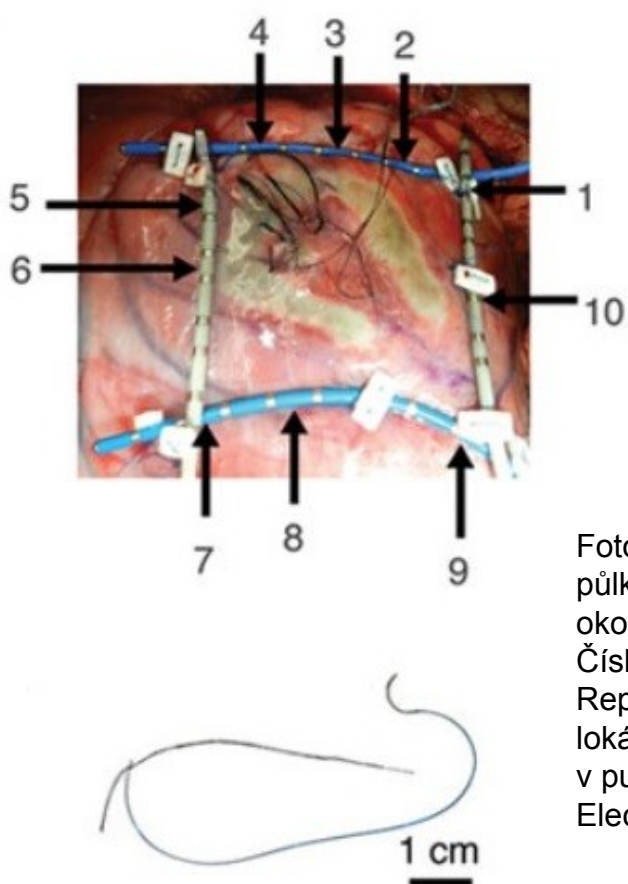


Využití- separace vodné složky (např. z alkoholu)

Zjednodušené schéma průřezu multivrstevní folie ze šupinek oxidu grafenu. Ve spodní části snímek průřezu GO folie z rastrovacího mikroskopu. R. Nair et al., *Science* 2012

# Uhlíkatá nanovlákna

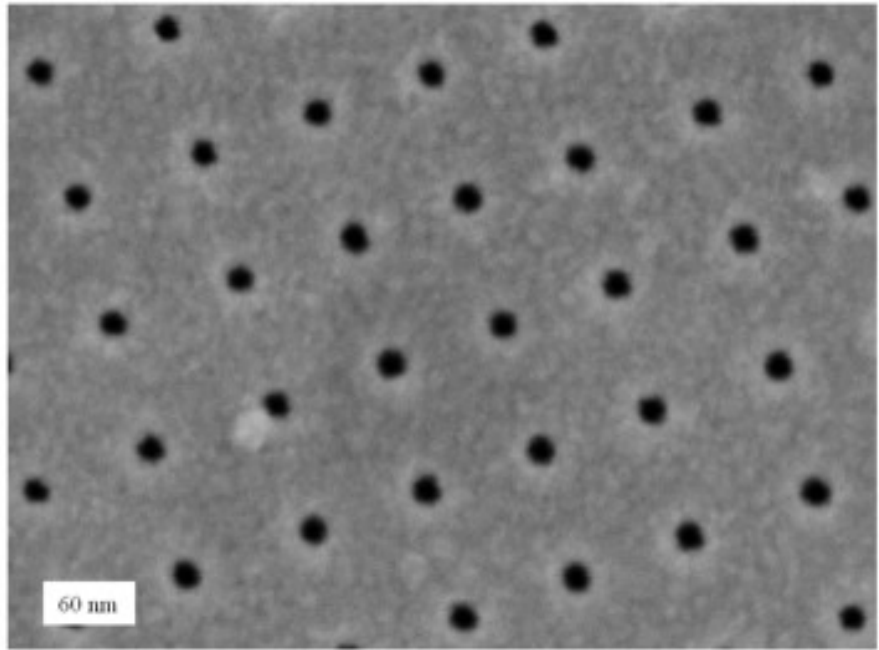
- uhlíkatá, el. vodivá, spletená nanovlákna sloužící k „přemostění“ zjizvené srdeční tkáně po infarktu a plnící funkci převodu elektrického signálu



Fotografie ukazuje ovčí srdce s vláknem CNTf všitým přes půlkruhovou jizvu a její vodivé přemostění. Rovné dlouhé útvary okolo jizvy jsou měřící snímací katétry (pro potřebu pokusu). Čísla 1–10 odpovídají poloze bipolárních elektrogramů. Reprezentativní příklady epikardiálních elektrogramů a časy lokální aktivace dokládající nápravu nemocného srdce lze nalézt v publikaci McCauley et al., Circulation: Arrhythmia and Electrophysiology (2019).

# Nanopóry

- Do biologie pronikají aplikace póru o řádově nanometrovém průměru. Používají se pro regulaci toku iontů nebo molekul přes jinak neprostupné membrány buněk nebo organel.

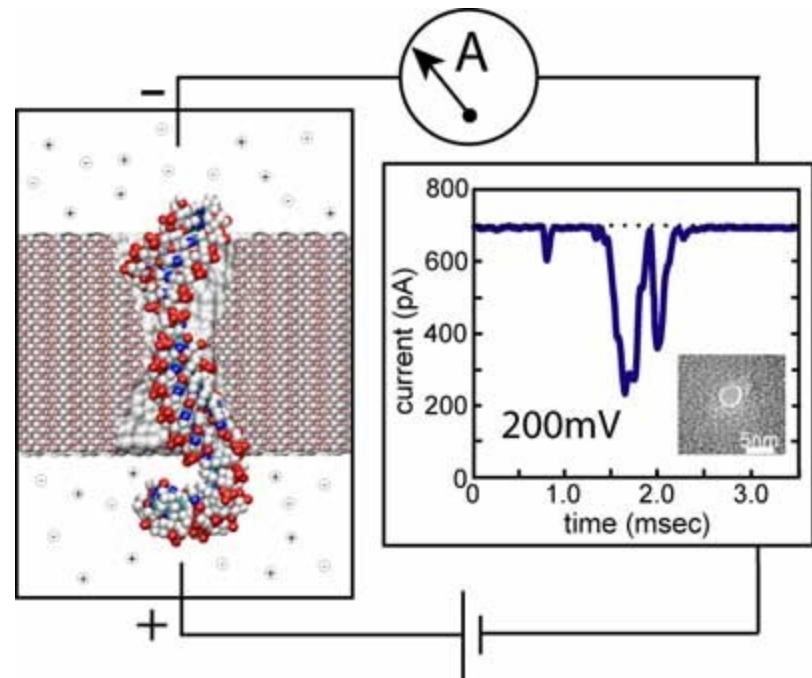


**Nanopóry vyvrstané fokusovaným iontovým svazkem do 10 nm silné membrány z nitridu křemíku. Měřítko 60 nm.**

Ref: H.D. Tong, H.V. Jansen, V.J. Gadgil, C.G. Bostan, J.W. Berenschot, C.J.M. van Rijn, and M. Elwenspoek, Nano Lett. 4, 283, (2004).

# Nanopory: Lékařské aplikace: sekvenování DNA

- Při průchodu molekuly DNA přes nanopór, jednotlivé báze vedou k různě velkému poklesu procházejícího proudu a lze je proto identifikovat.
- Tento způsob sekvenování může revolucionizovat genomiku, protože sekvenování celé molekuly se stává otázkou sekund.
- Jiné aplikace této techniky zahrnují separaci jednovláknové a dvouvláknové DNA v roztoku a určení délky biopolymerů.



<http://www.ks.uiuc.edu/Research/nanopore/>

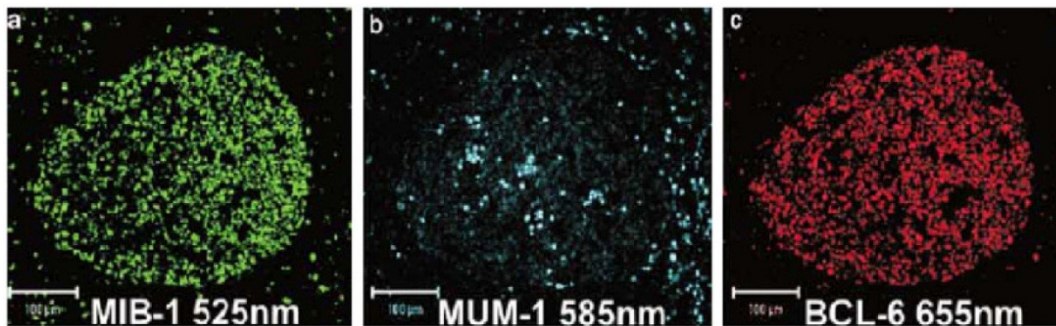
# Nanokrystaly

- Nanokrystal je krystalická částice s nejméně jedním rozměrem menším než 100 nm.
- Polovodičové nanokrystaly s rozdílem pod 10nm bývají často označovány jako ‘kvantové tečky’. Kvantová tečka má diskrétní energetické hladiny, nikoliv spojité energetické spektrum jako větší pevná tělesa.

# Nanokrystaly

## Kvantové tečky – quantum dots

- Shluky atomů tvořící monokrystalické pravidelné struktury
- Jako kvantové tečky označovány též klastry atomů vytvořených na vhodném podloží (využití v elektronice, komunikačních technologiích, ...)
- Diskrétní rozdělení energetických hladin
- **Vlastnost fluorescence** – vlnová délka dle velikosti jádra kvantové tečky (závislé na ozáření elemag. polem)
- Využití – mapování, imunoznačení, MRI kontrast



Trojité imunofluorescence využívající vazby kvantových teček,  
Fountaine *et al*, Mod Pathol 2006, 19, 1181-1191

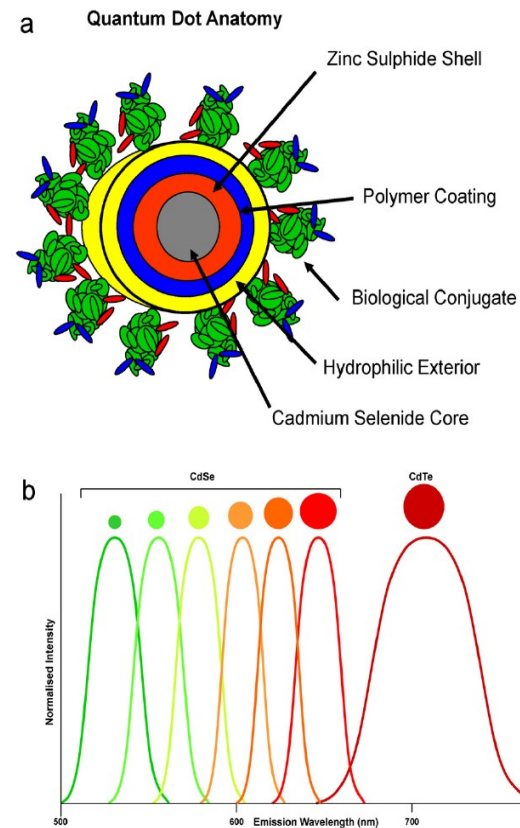
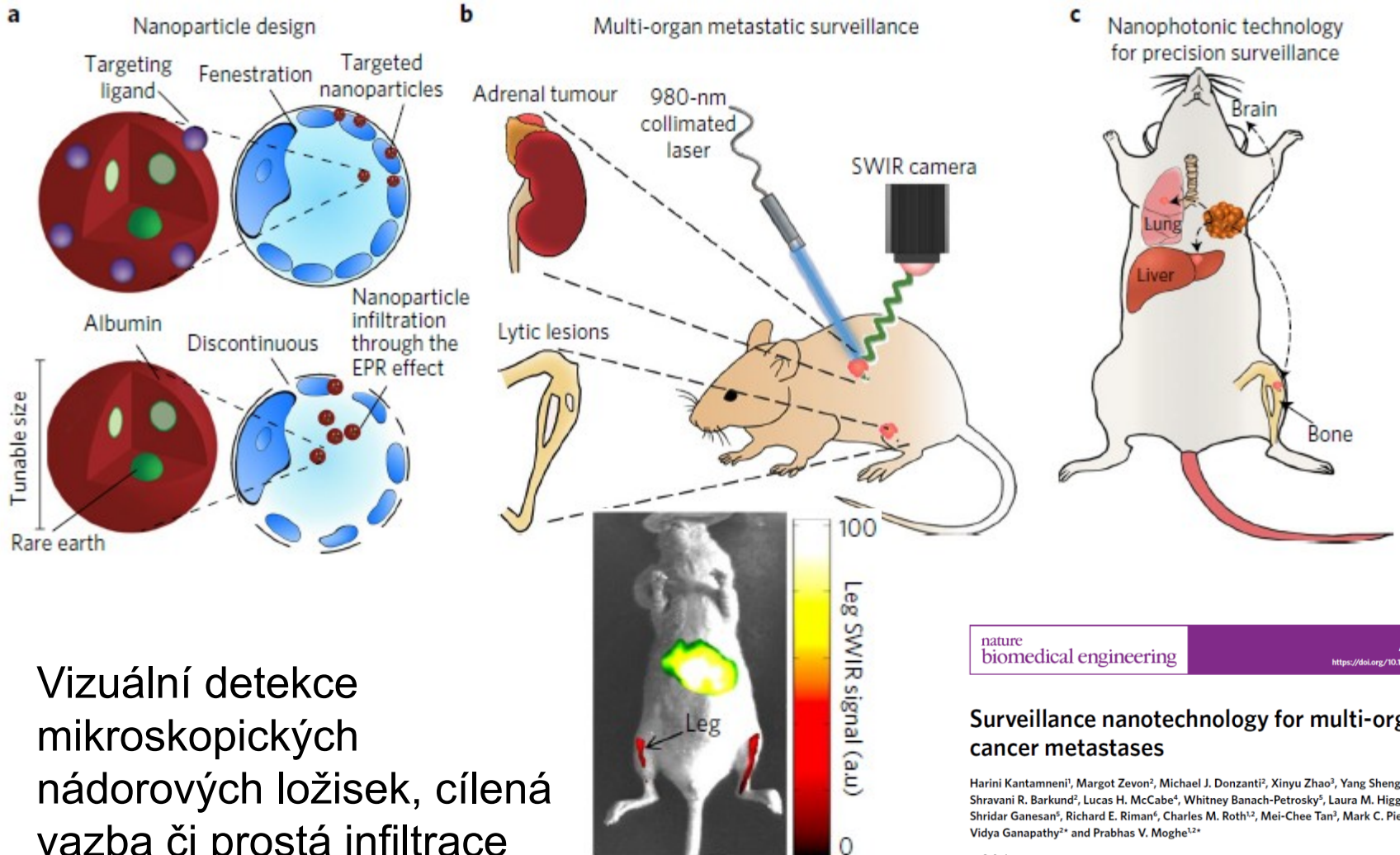
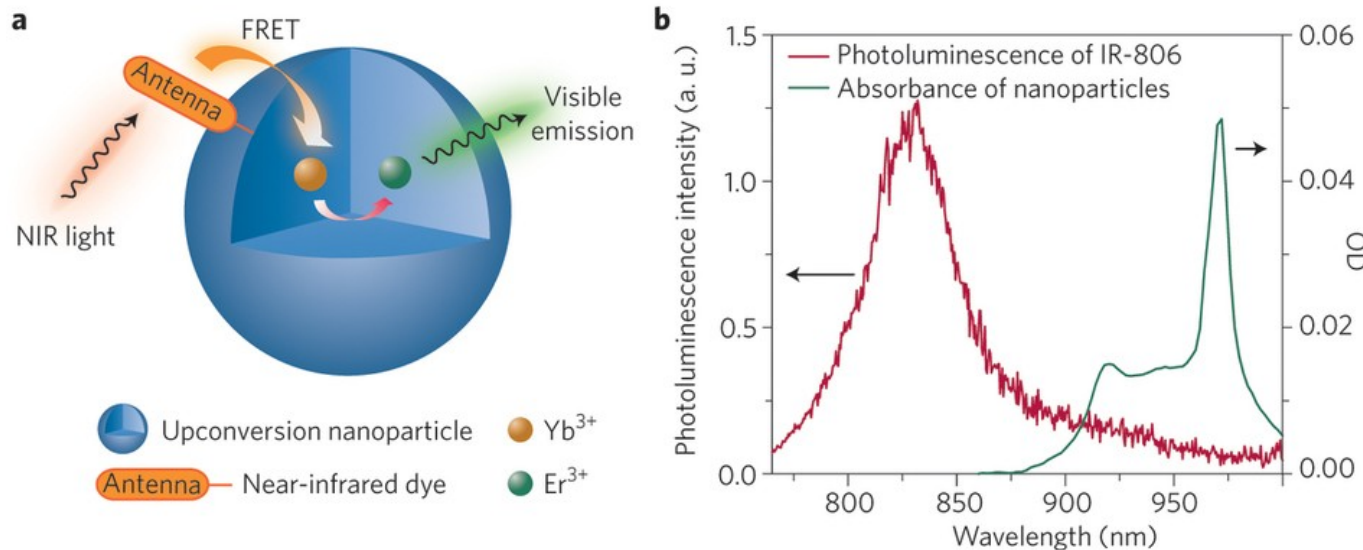


Figure 1. (a) Schematic representation of a QD Quantum dots are composed of a Cadmium Selenide (CdSe) core, around which a Zinc Sulphide (ZnS) shell is added to increase quantum yield. Addition of polymer and hydrophilic coverings is required for stability and the outside of the assembly is coated with biomolecules such as streptavidin or amino to enable attachment to other molecules (reproduced with permission from Tholouli *et al*, J Pathol 2008, 216, 275-285).

# Kvantové tečky – quantum dots



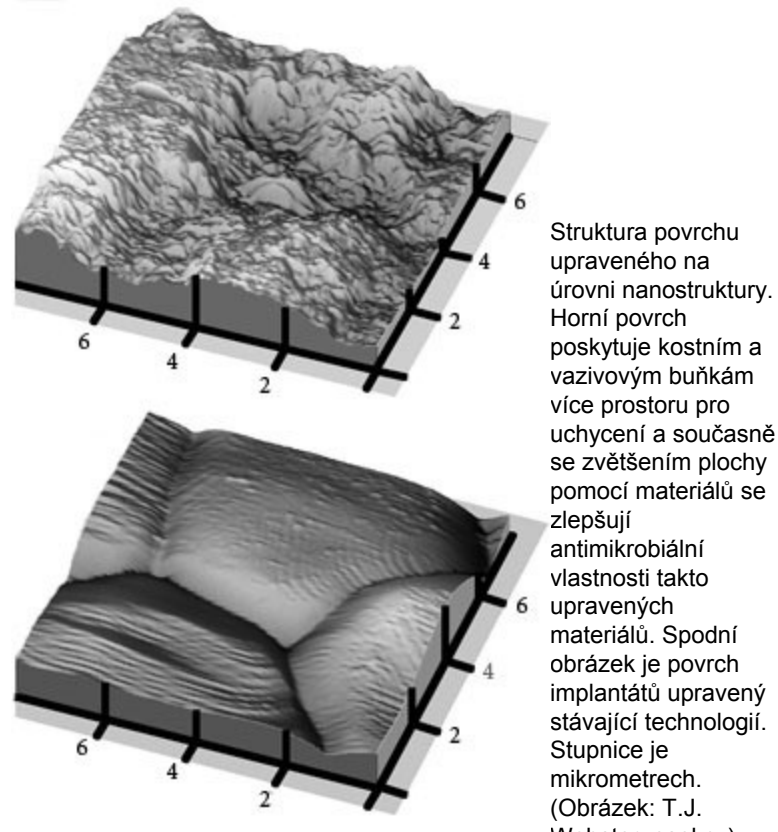
# Upkonverzní kvantové tečky



Speciální aplikaci umožňují tzv. **upkonverzní nanočátky** (upkonverzní kvantové tečky). Tyto nanostruktury obvykle tvořené fluoridy např. Na (Y, Gd, Yb, Ef) F<sub>4</sub> vykazují vlastnost absorpce několika kvant elektromagnetického vlnění o vyšších vlnových délkách a následné vyzáření elektromagnetického záření o kratších vlnových délkách. Tím je umožněna jejich aplikace v hlouběji uložených strukturách, tkáních. Funkce- vizualizace struktur tkání

# Nanokrystaly : antibakteriální účinky

Podle provedených studií (*Thomas J. Webster, Brown University, USA*) je možné využít nanokrystalů oxidu zinku a titanu k úpravě povrchu implantátů - metoda nanostrukturování. Její podstata spočívá v mnohonásobném zvětšení (zdrsnění) povrchu materiálu nanesením vrstvy nanokrystalů, což např. v případě ortopedických implantátů pomáhá k zvýšenému záchytu tkáňových buněk a rychlejšímu „vhojení“. Další významnou funkcí takto upraveného povrchu je funkce antimikrobiální, kdy přítomnost nanokrystalů oxidu zinku potlačuje tvorbu mikrobiálních filmů.

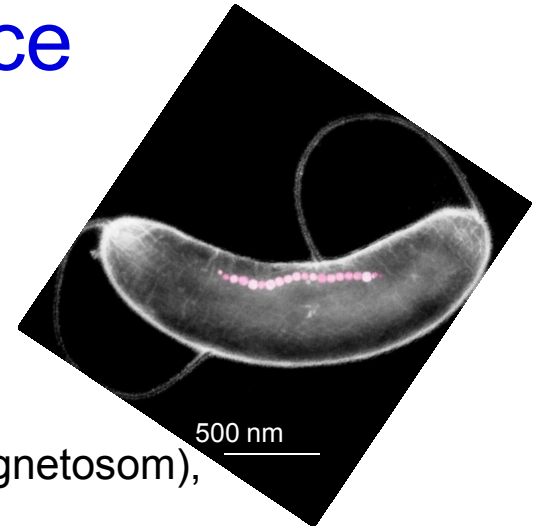


# Nanokrystaly : tekuté sklo

- „Tekuté sklo“ – surovinou je v tomto případě obyčejný křemičitý písek (oxid křemičitý) zpracovaný do podoby nanočástic, k nimž se do směsi přidává voda nebo etanol - podle povrchu, na který se zrovna tekuté sklo nanáší (např. pomocí spreje). Nic další už není potřeba, tekuté sklo se na místě aplikace drží pomocí fyzikálních sil fungujících v nanosvětě.
- Sprej s tekutým sklem vytváří vodotěsnou vrstvu o síle zhruba 100 nanometrů, což představuje pouhých 15-30 molekul.
- Tekuté sklo má mít velmi trvanlivé antibakteriální účinky. Působí antimikrobiálně, díky sníženému ulpívání mikrobů na takto ošetřeném povrchu. Kromě toho nanoskleněné povrchy odpuzují špínu i vlhkost a zdatně odolávají teplu, ultrafialovému záření nebo silným kyselinám (např. žaludeční, trávící trakt, ...).
- Velmi slibně dopadl i roční test tekutého skla v nemocnici v Lancashire, kde používali chirurgické vybavení, implantáty, katetry, nitě k šití stehů i obvazy potažené tímto zajímavým nanomateriélem s výsledkem zvýšení antibakteriální ochrany

# Magnetické nanočástice

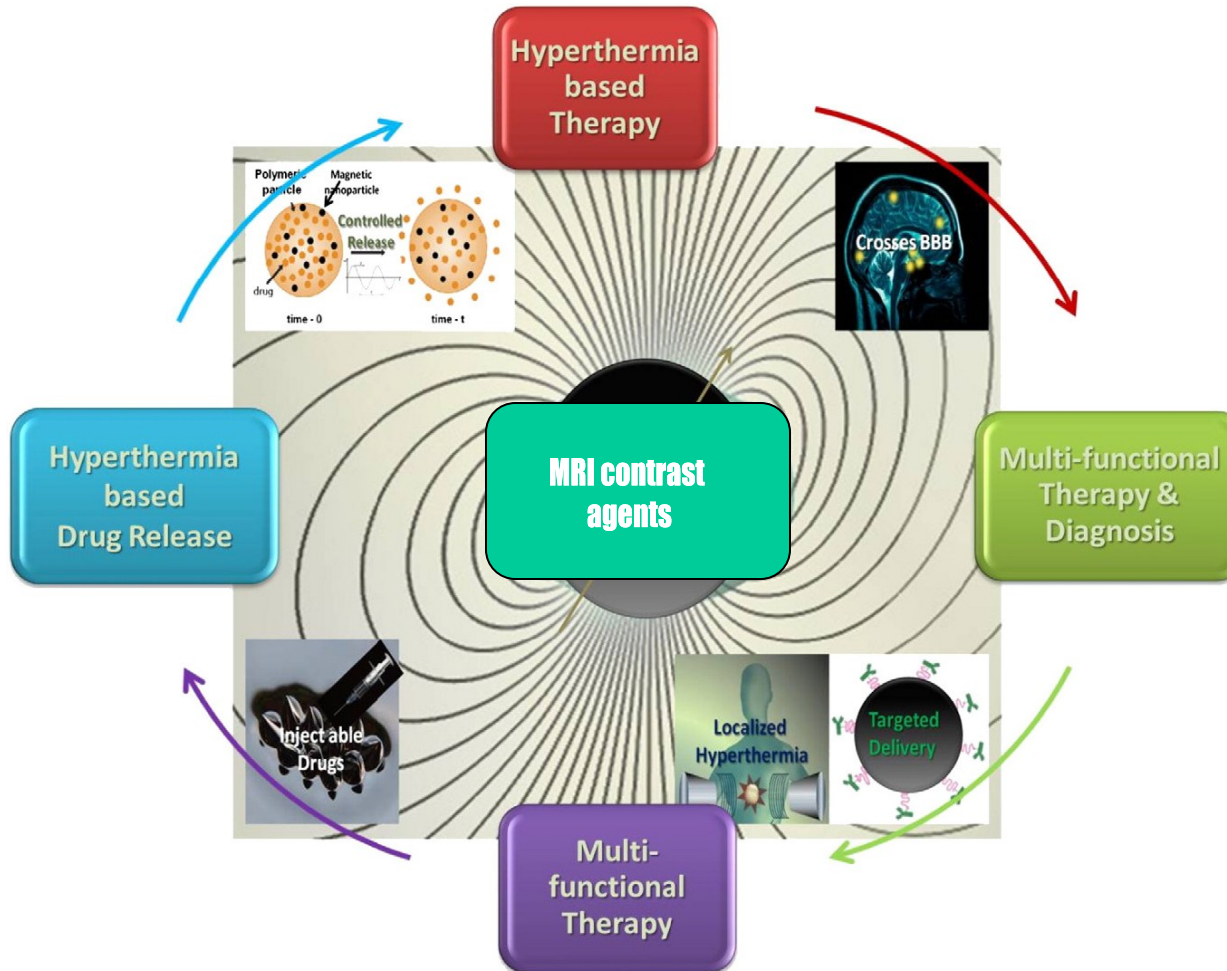
- Magnetické nanočástice – charakterizovány magnetickým momentem  $\mu$  a interakcí s vnějším magnetickým polem  $H$
- Přirozený výskyt magnetických nanočástic v přírodě
  - *Magnetospirillum magnetotacticum* – magnetit (organela magnetosom), včela, termiti, poštovní holub, delfín



Využití v medicíně, biomedicíně:

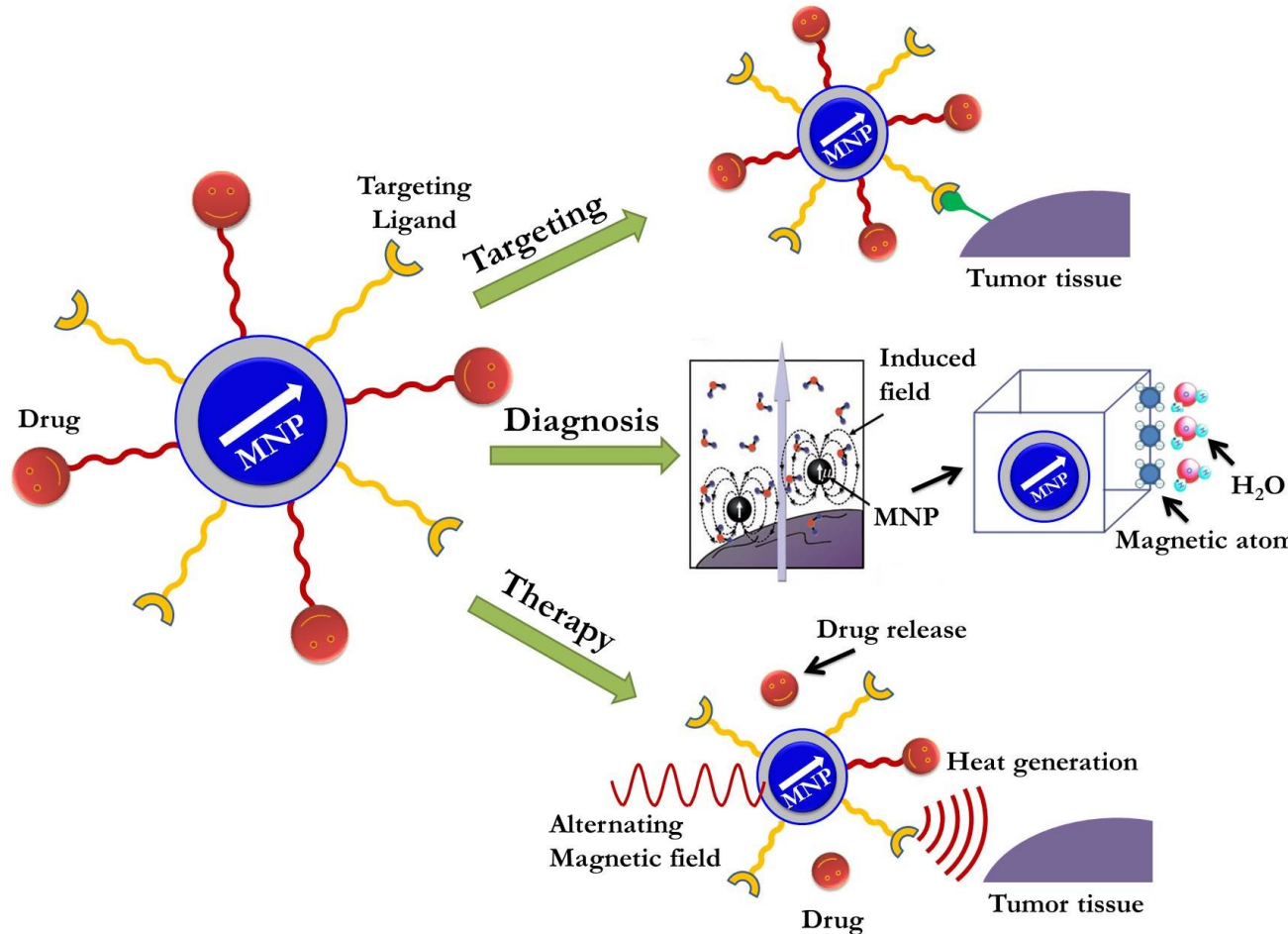
- **transport / separace / imobilizace** magnetických nanočástic či molekul s těmito částicemi konjugovaných pomocí vnějšího magnetického pole – separace DNA/RNA, cílené doručení léčiv
- **ohřev** (přenos energie z vnějšího magnetického pole na magnetickou nanočástici) – např. *magnetic intercellular hyperthermia* při nádorové léčbě
- **kontrastní zvýšení signálu MRI** – např. kontrastní látka Resovist® (oxid železa obalený karboxydextranem) pro vyšetření jater

# Magnetické nanočástice

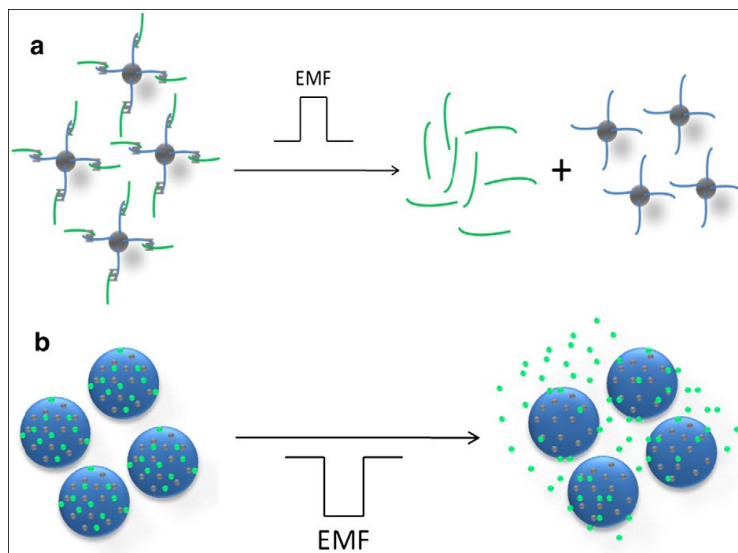


Schematické znázornění využití magnetických nanočástic v medicíně (Kumar and Mohammad, 2011)

# Magnetické nanočástice



# Magnetické nanočástice: Teplotně řízený transport léčiva



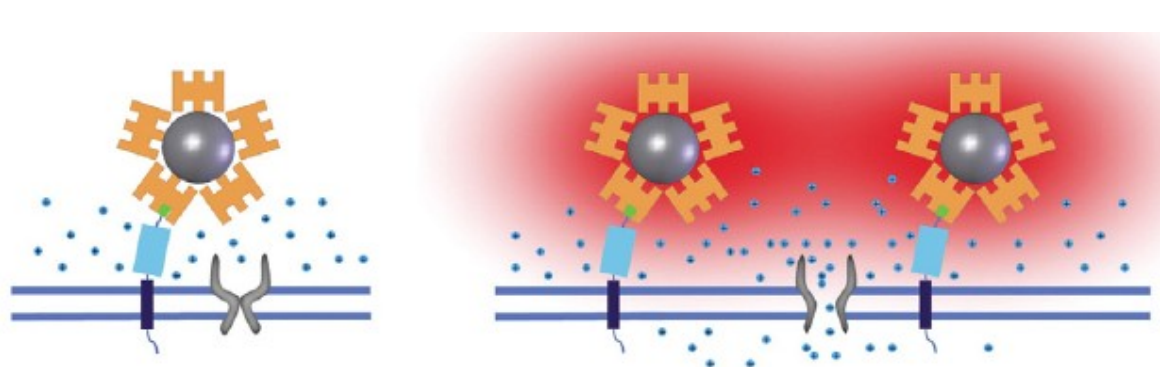
Teplotně řízený transport léčiva využívá ohřevu magnetické nanočástice a tím i jejího bezprostředního okolí v čase působení vnějšího časově proměnného magnetického pole (ohřev během hystereze).

- a) uvolnění navázané látky přes termolabilní vazbu změnou teploty nanočástice aplikací magnetického pole
- b) uvolnění látky z polymerového obalu, který obsahuje i magnetické nanočástice. Uvolnění látky realizované díky přítomnosti mikro prasklin, které vzniknou ohřevem polymeru nanočásticemi při aplikaci magnetického pole

Kumar, Mohammad, Magnetic nanomaterials for hyperthermia-based therapy and controlled drug delivery, *Adv. Drug Deliv. Rev.* (2011)

# Magnetické nanočástice: Teplotně řízený transport léčiva

Řízený přenos látky přes teplotně senzitivní membránové kanály. Specifickou vazbou magnetické nanočástice a aplikací magnetického pole dochází k ohřevu a změně konformace membránových kanálů (transportních proteinů, např. TRPV1 \*) v blízkém okolí vazby nanočástice.



\* - Kumar, Mohammad, Magnetic nanomaterials for hyperthermia-based therapy and controlled drug delivery, Adv. Drug Deliv. Rev. (2011)

# Magnetické nanočástice:

**Table 1**

List of magnetic nanoparticles reported for application in hyperthermia-based therapy and controlled drug delivery.

| S. no | Type of magnetic nanoparticle                                                                           | Application                                             |
|-------|---------------------------------------------------------------------------------------------------------|---------------------------------------------------------|
| 1.    | Fe doped Au NPs                                                                                         | Hyperthermia-based therapy                              |
| 2.    | $\gamma$ -Fe <sub>2</sub> O <sub>3</sub>                                                                | Hyperthermia-based therapy                              |
| 3.    | Cobalt ferrite                                                                                          | Hyperthermia-based therapy                              |
| 3.    | Fe <sub>3</sub> O <sub>4</sub>                                                                          | Hyperthermia-based therapy                              |
|       | Fe <sub>3</sub> O <sub>4</sub> -poly vinyl alcohol                                                      |                                                         |
| 4.    | NiFe <sub>2</sub> O <sub>4</sub>                                                                        | Hyperthermia-based therapy                              |
| 5.    | $\gamma$ -Fe <sub>2</sub> O <sub>3</sub>                                                                | Hyperthermia-based therapy                              |
| 7.    | Fe <sub>3</sub> O <sub>4</sub> @chitosan                                                                | Hyperthermia-based therapy                              |
| 8.    | Fe <sub>3</sub> O <sub>4</sub> @block copolymers                                                        | Hyperthermia-based therapy                              |
| 9.    | Fe <sub>3</sub> O <sub>4</sub> -dextran stabilized                                                      | Hyperthermia-based therapy                              |
|       | Fe <sub>3</sub> O <sub>4</sub> @Aminosilan                                                              |                                                         |
| 10.   | Ferrite-Dextran stabilized                                                                              | Hyperthermia-based therapy                              |
| 11.   | Fe <sub>3</sub> O <sub>4</sub> -dextran (mono and bilayer) stabilized                                   | Hyperthermia-based therapy                              |
| 12.   | Fe <sub>3</sub> O <sub>4</sub> -lauric acid stabilized                                                  | Hyperthermia-based therapy                              |
| 13.   | Fe <sub>3</sub> O <sub>4</sub> -lauric acid stabilized                                                  | Hyperthermia-based therapy                              |
|       | MnFe <sub>2</sub> O <sub>4</sub> -lauric acid stabilized                                                |                                                         |
|       | CoFe <sub>2</sub> O <sub>4</sub> -lauric acid stabilized                                                |                                                         |
| 14.   | Fe@biscarboxyl-terminated poly(ethylene glycol) (cPEG)                                                  | Hyperthermia-based therapy                              |
| 15.   | $\gamma$ -Mn <sub>x</sub> Fe <sub>2-x</sub> O <sub>3</sub> coated Acrypol 934 polymer                   | Hyperthermia-based therapy                              |
| 16.   | FeCo@Au                                                                                                 | Hyperthermia-based therapy                              |
| 17.   | Fe@MgO                                                                                                  | Hyperthermia-based therapy                              |
| 18.   | Fe <sub>3</sub> O <sub>4</sub> @Si                                                                      | Hyperthermia-based therapy                              |
| 19.   | Fe <sub>2</sub> O <sub>3</sub> @SiO <sub>2</sub>                                                        | Hyperthermia-based therapy                              |
| 20.   | FeNi@Au microdiscs                                                                                      | Hyperthermia-based therapy                              |
| 21.   | Fe@Fe <sub>3</sub> O <sub>4</sub>                                                                       | Hyperthermia-based therapy                              |
| 22.   | La <sub>0.56</sub> (CaSr) <sub>0.22</sub> MnO <sub>3</sub> @SiO <sub>2</sub>                            | Hyperthermia-based therapy                              |
| 23.   | Fe <sub>3</sub> O <sub>4</sub> @Au                                                                      | Hyperthermia-based therapy                              |
| 24.   | Magnetite cationic liposomes (MCL)                                                                      | Hyperthermia-based therapy                              |
| 25.   | Fe <sub>3</sub> O <sub>4</sub> -lauric acid stabilized                                                  | Hyperthermia-based therapy                              |
| 26.   | Fe <sub>2</sub> O <sub>3</sub> @SiO <sub>2</sub> bound LHRH                                             | Hyperthermia-based therapy                              |
| 27.   | SPIONs bound fluorophore bimane                                                                         | Hyperthermia-based Controlled drug delivery             |
| 28.   | Porous Fe <sub>3</sub> O <sub>4</sub> /Fe/SiO <sub>2</sub>                                              | Hyperthermia-based Controlled drug delivery             |
| 29.   | Fe@SiO <sub>2</sub>                                                                                     | Hyperthermia-based Controlled drug delivery             |
| 30.   | poly-(N-vinyl-2-pyrrolidone) (PVP)-modified silica core@iron oxide shell                                | Hyperthermia-based Controlled drug delivery             |
| 31.   | Mg-Al layered double hydroxides (LDH) coated magnesium ferrite NPs                                      | Hyperthermia-based Controlled drug delivery             |
| 32.   | Yolk-shell type nanospheres with movable cores of Au, SiO <sub>2</sub> , Fe <sub>3</sub> O <sub>4</sub> | Hyperthermia-based Controlled drug delivery             |
| 33.   | $\gamma$ -Mn <sub>x</sub> Fe <sub>2-x</sub> O <sub>3</sub> coated Acrypol 934 polymer                   | Hyperthermia-based therapy and controlled drug delivery |
| 34.   | Fe <sub>3</sub> O <sub>4</sub> @lipid membrane (MCL, magnetite cationic liposome)                       | Hyperthermia-based therapy and controlled drug delivery |
| 35.   | Fe@carbon nanoparticles bound polymer                                                                   | Hyperthermia-based therapy and controlled drug delivery |
| 36.   | Co@Au@ poly( sodium styrene sulfonate)/poly(allylamine hydrochloride)                                   | Hyperthermia-based therapy and controlled drug delivery |
| 37.   | SPIONs@ sensitive poly (N-isopropylacrylamide) hydrogels                                                | Hyperthermia-based therapy and controlled drug delivery |
| 38.   | Fe@Fe <sub>3</sub> O <sub>4</sub> loaded 4-tetracarboxy phenyl porphyrin                                | Hyperthermia-based therapy and controlled drug delivery |
| 39.   | Carboplatin-Fe@C-loaded chitosan                                                                        | Hyperthermia-based therapy and controlled drug delivery |
| 40.   | Zinc doped iron oxide nanocrystals encapsulated mesoporous silica                                       | Hyperthermia-based therapy and controlled drug delivery |
| 41.   | MCL loaded 4-S-Cysteaminylnphenol                                                                       | Hyperthermia-based therapy and controlled drug delivery |

Přehled magnetických nanočástic  
a jejich možné využití

Kumar, Mohammad, Magnetic nanomaterials for hyperthermia-based therapy and controlled drug delivery, Adv. Drug Deliv. Rev. (2011)

# Magnetické nanočástice: Kontrastní prostředky pro MRI

## *Magnetic resonance imaging*

- Superparamagnetic nanocrystals (**dark contrast effect in images**)

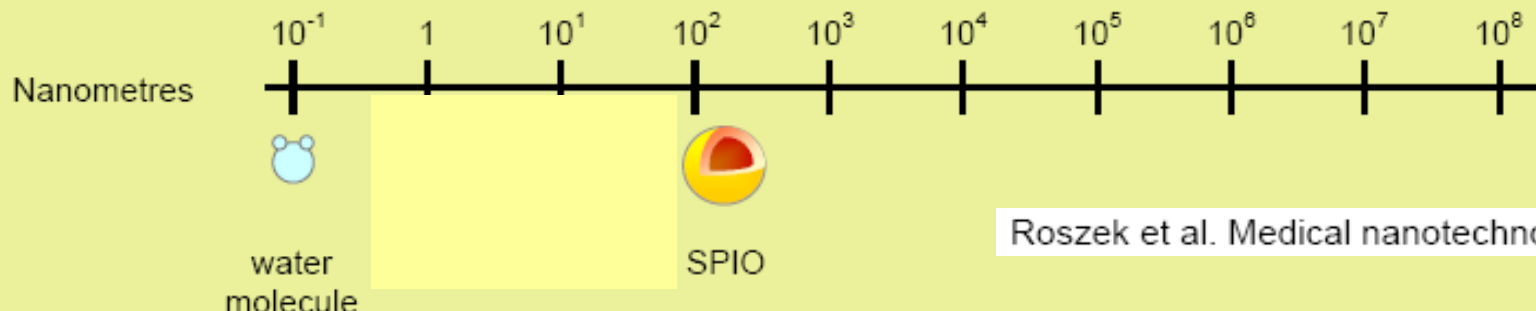
Superparamagnetic iron oxide (SPIO) (50-500 nm) – *on the market*

Lumirem® and Endorem™, Advanced Magnetics Inc, USA

Ultrasmall superparamagnetic iron oxide (USPIO) (<50nm) – *clin. investigation*

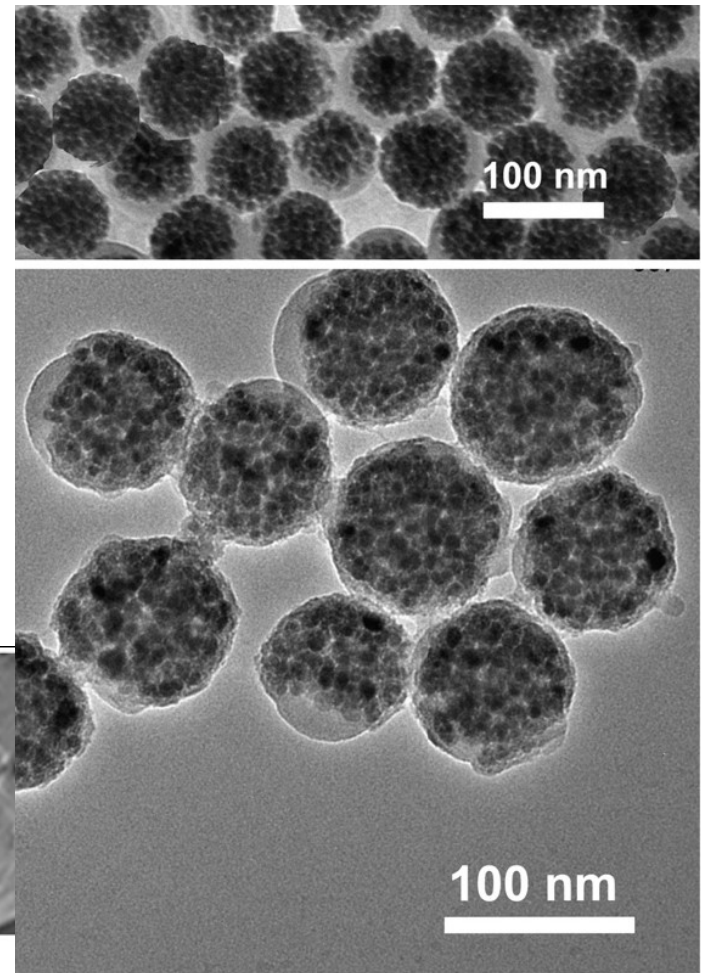
Supravist™, Schering AG, Germany

Sinerem®, Guerbet SA, France



# Magnetické nanočástice: Kontrastní prostředky pro MRI

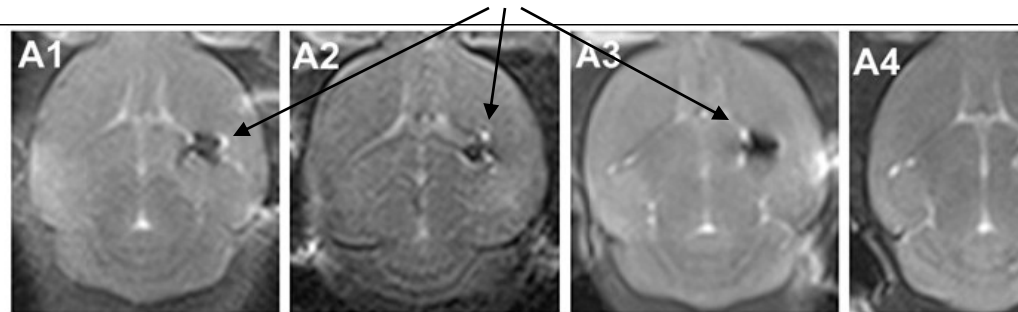
TEM mikroskopie – **nanoklastr magnetitu**, skládající se z nanočastic magnetitu



Využití magnetických nanočastic jako kontrastní látky pro MRI zobrazení, v tomto případě sledování distribuce kmenových buněk (jež obsahují tyto nanoklastry) v mozku myší.

Chunfu Zhang et al., High MR sensitive fluorescent magnetite nanocluster for stem cell tracking in ischemic mouse brain, *Nanomedicine: Nanotechnology, Biology and Medicine*, Available online 8 April 2011

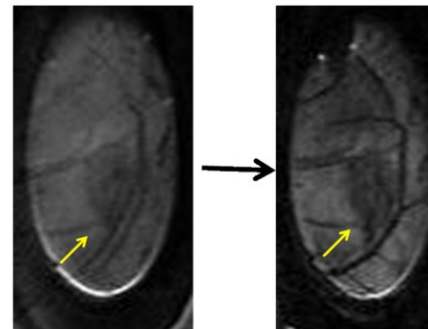
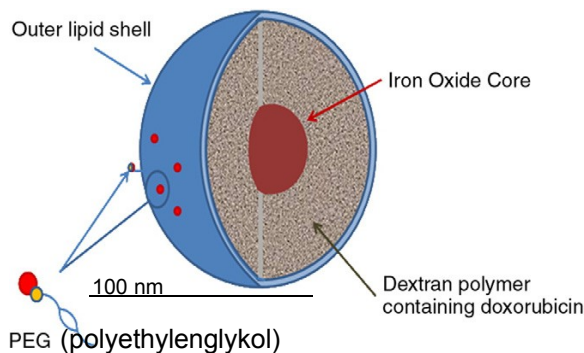
MRI signál magnetických nanočastic



# Magnetické nanočástice: Kontrastní prostředky pro MRI

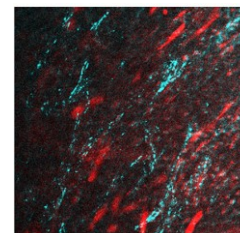
- *Magnetic resonance and fluorescence imaging of doxorubicin-loaded nanoparticles using a novel in vivo model, Ahmet Erten, Wolf Wrasidlo, Miriam Scadeng, Sadik Esener, Robert M. Hoffman, Michael Bouvet, Milan Makale, Pages 797-807, Nanomedicine: Nanotechnology, Biology, and Medicine 6 (2010)*

## Kombinace kontrastního prostředku MRI, cíleného transportu léčiva a fluorescenční sondy



MRI kontrast  
Bez a s kontrastními  
nanočásticemi

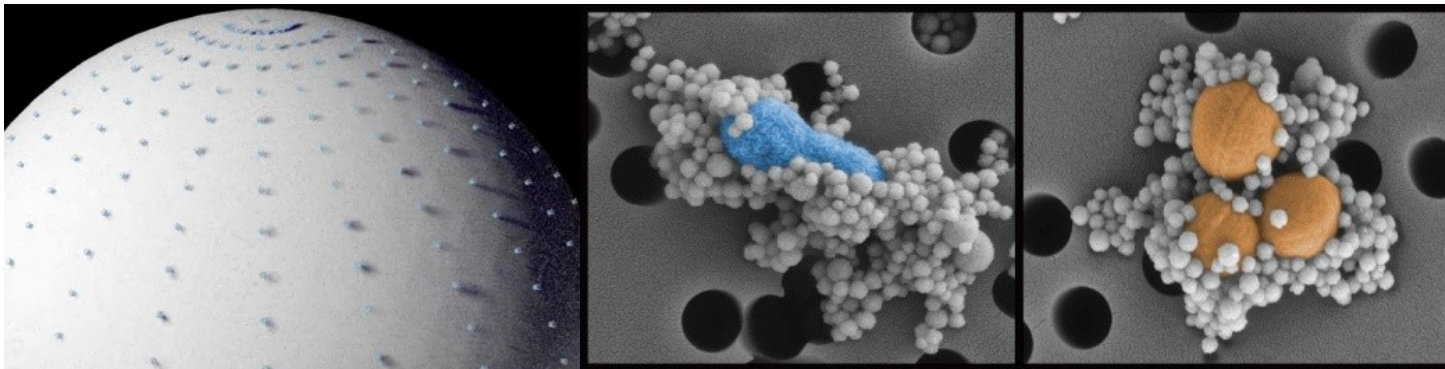
Schematic of a multifunctional nanoparticle for MR contrast and drug delivery. The inner core is composed of iron oxide encapsulated by cross-linked dextran, which is the site of drug loading. The outer shell of the nanoparticle is decorated with poly(ethylene glycol) (PEG) and can be covalently attached to targeting functional groups. The particle undergoes sterile filtration through 0.2-μm sterile filters and has a shelf-life of at least 4 weeks.



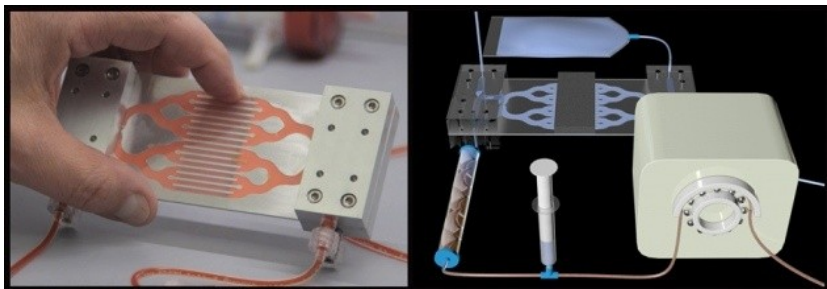
Fluorescence navázaných  
nanočastic v nádorové tkáni

# Magnetické nanočástice- léčba infekcí

Publikováno NATURE 2014: Základem je **modifikovaný protein - manózu** vázající lektin (MBL). Ten je součástí přirozeného imunitního systému. Protein na sebe váže více jak 90 různých druhů patogenů a také toxiny které mrtvé bakterie uvolňují. Je rovněž spouštěčem imunitní reakce v případě sepse. Tímto **proteinem** **vědci obalili nanokuličky** z magnetického materiálu. Patogeny se na jejich povrchu přichycují. Magnetickým polem lze kuličky z krve vychytat a spolu s nimi i patogeny. Poté se vyčištěná krev do organismu zase vrací. (HIV, Ebola)



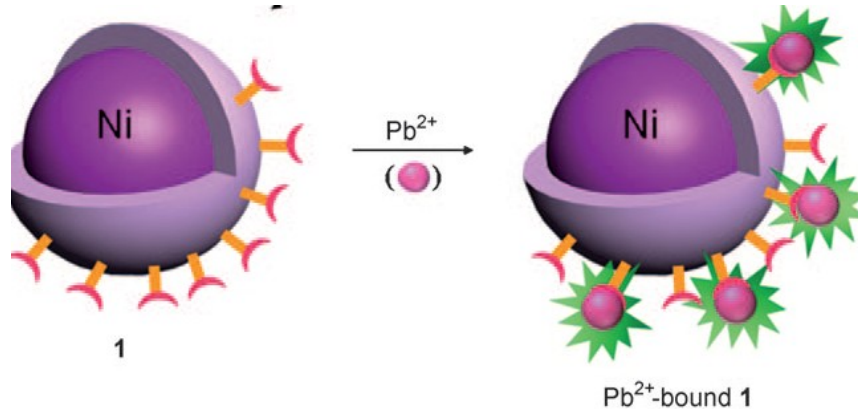
Institute Founding Director Don Ingber, Senior Staff Scientist Michael Sunar



# Magnetické nanočástice - detoxikace

- V případě otravy se nanočástice vstříknou do krevního oběhu, kde "sesbírají" toxické látky – pomocí specifické vazby skrze povrchovou úpravu nanočastic. Krev následně projde speciálně upraveným dialyzačním přístrojem, který z ní pomocí magnetu odstraní nanočástice i s toxicou látkou. Vedlejší účinky takové terapie údajně nehrozí. Silné magnetické pole podle dřívějších studií nemá na lidskou krev negativní efekt, a to i přesto, že krevní barvivo hemoglobin obsahuje ionty železa.

*A Selective Fluoroionophore Based on BODIPY-functionalized Magnetic Silica Nanoparticles: Removal of Pb<sup>2+</sup> from Human Blood, Hye Young Lee, Doo Ri Bae, Ji Chan Park, Hyunjoon Song, Won Seok Han, and Jong Hwa Jung, Angew. Chem. Int. Ed. 2009, 48, 1239–1243*



Scheme 1. BODIPY-functionalized magnetic silica nanoparticles  
1.

Experimentálně ověřený postup pro odstranění iontů olova pomocí magnetických nanočastic



## Magnetické nanočástice pro testování Covid-19 míří do praxe

Miniaturní částice s magnetickým jádrem a tenkou křemennou slupkou na povrchu pro izolaci virové RNA, které vyvinuli vědci z Regionálního centra pokročilých technologií a materiálů (RCPTM) přírodovědecké fakulty, míří do praxe. Komerční společnosti již nakoupily první várky magnetických kuliček pro diagnostické účely. Nanočástice jsou důležitou součástí nové technologie testování na Covid-19 vytvořené v Ústavu organické chemie a biochemie (ÚOCHB) Akademie věd ČR, která zásadně pomohla v době vrcholící koronavirové pandemie.

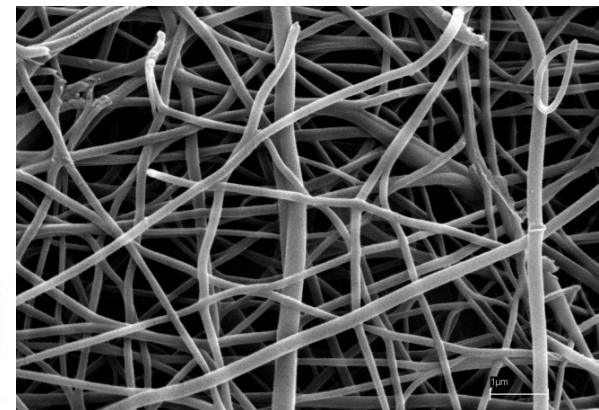
„Oxid kremičitý, který obaluje magnetické nanočástice, má velkou schopnost vázat nukleové kyseliny. Díky obrovskému povrchu nanočastic se na ně efektivně zachytí velké množství virové RNA. Navázané molekuly RNA lze snadno izolovat pomocí externího magnetu pro účely diagnostiky metodou PCR,“ popsal fungování nanokuliček Radek Zbořil z RCPTM.

Technologii se podařilo úspěšně ověřit ve Státním zdravotním ústavu v Praze, v nemocnicích v Motole nebo Na Bulovce, v brněnském CEITECu, pražském BIOCEVu nebo olomouckém Ústavu molekulární a translační medicíny. Národní referenční

<https://www.rcptm.com/cs/magneticke-nanocastice-pro-testovani-covid-19-miri-do-praxe/>

# Nanovlákna

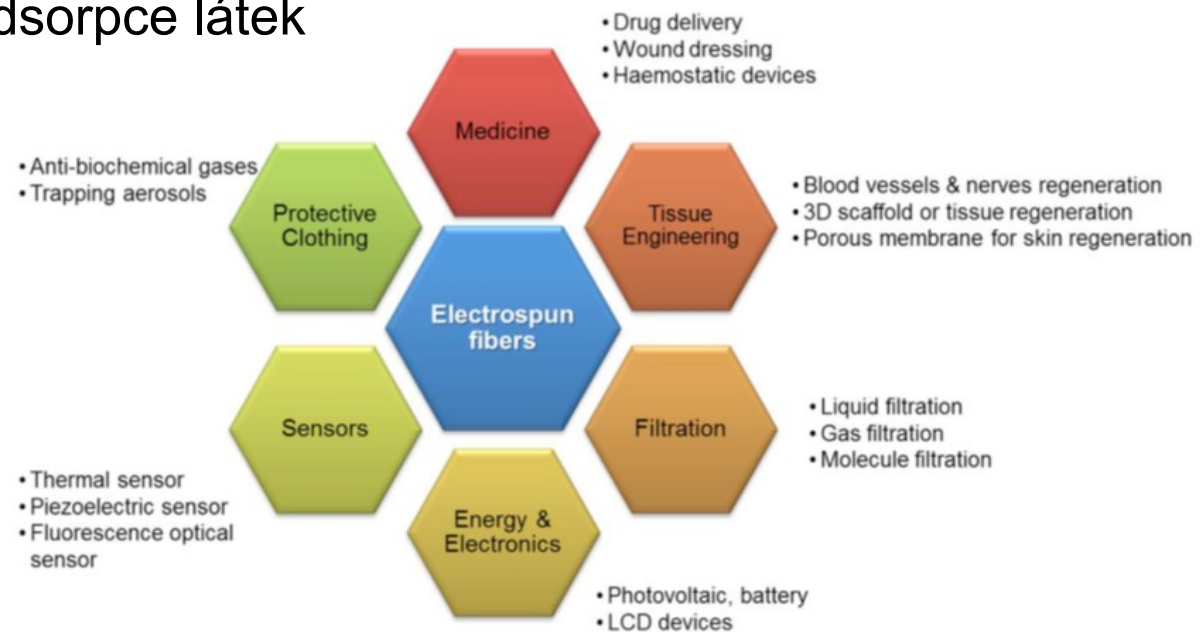
- Rozměrově desítky až stovky nanometrů v průměru
- Výroba – nejčastěji elektrohydrodynamickou atomizací roztoku polymeru – např. poly-caprolacton (biodegradabilní), chitosan, fibrogen, polyvinylalkohol, ... – (přístroj electrospinner)
- Možnost „uzavírání“ dalších látek a molekul do nitra nanovlákna -funkcionalizace



# Nanovláka

## Aplikace:

- 3D kultivační prostředí buněk in vitro
- Buněčný „scaffold“ – náhrada tkáně – např. kosti, cévy, chrupavky – biodegradabilní, biokompatibilní
- Obvazový a krycí materiál – „dopování“ antibakteriálními látkami (nanoAg), růstovými faktory, cytostatiky
- Filtrace, adsorpce látek
- ...

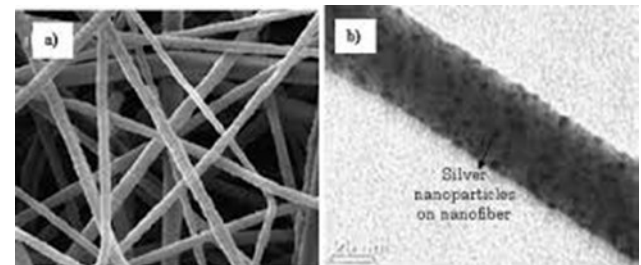




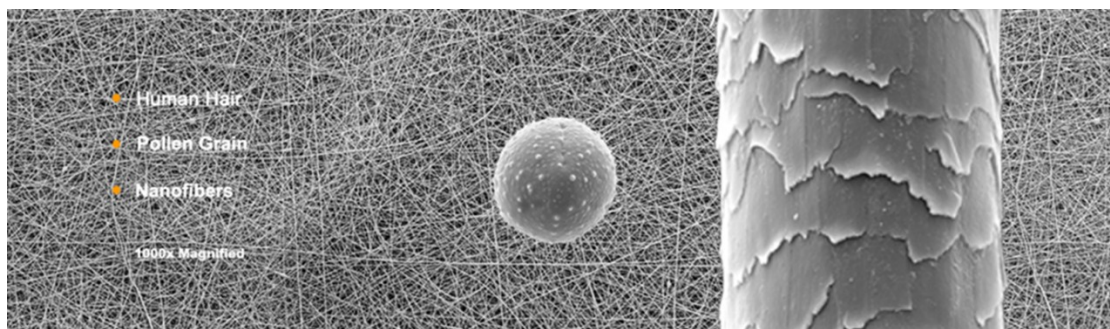
## Nanovláknová náhrada prudušnice



## Krycí materiál



## Antibakteriální úprava nanoAg



**Electrospun nanofibers in energy and environmental applications, 2008**

<http://www.sigmapi.com/content/dam/sigmapi/en/articles/download/spring%2012/synthetic-nanofiber-trachea.jpg>

<http://nanofiberveterinary.com/Images/products-wounds/a.png>

# Nanovlákna: Lékařské aplikace – Molekulární čidlo znečištění prostředí

- Ve srovnání s běžným optickým vlákнем, které se jeví jako slabě stejnoměrně svítící čára, nanovlákna při velkém zvětšení vypadají jako posetá svítícími body nebo perličkami. Tento jev je způsoben tím, že drobné ulpívající částice prachu a nečistot způsobují rozptyl světla procházejícího vláknem. Tato citlivost k povrchové kontaminaci vedla k použití nanovláken jako molekulárních čidel.
- Mohou být pokryta vazebnými místy pro různé molekuly vyskytující se v okolním prostředí. Pokud budou skutečně přítomny, spojí se s vazebnými místy a stanou se zdroji světla (necháme-li světlo procházet vláknem).

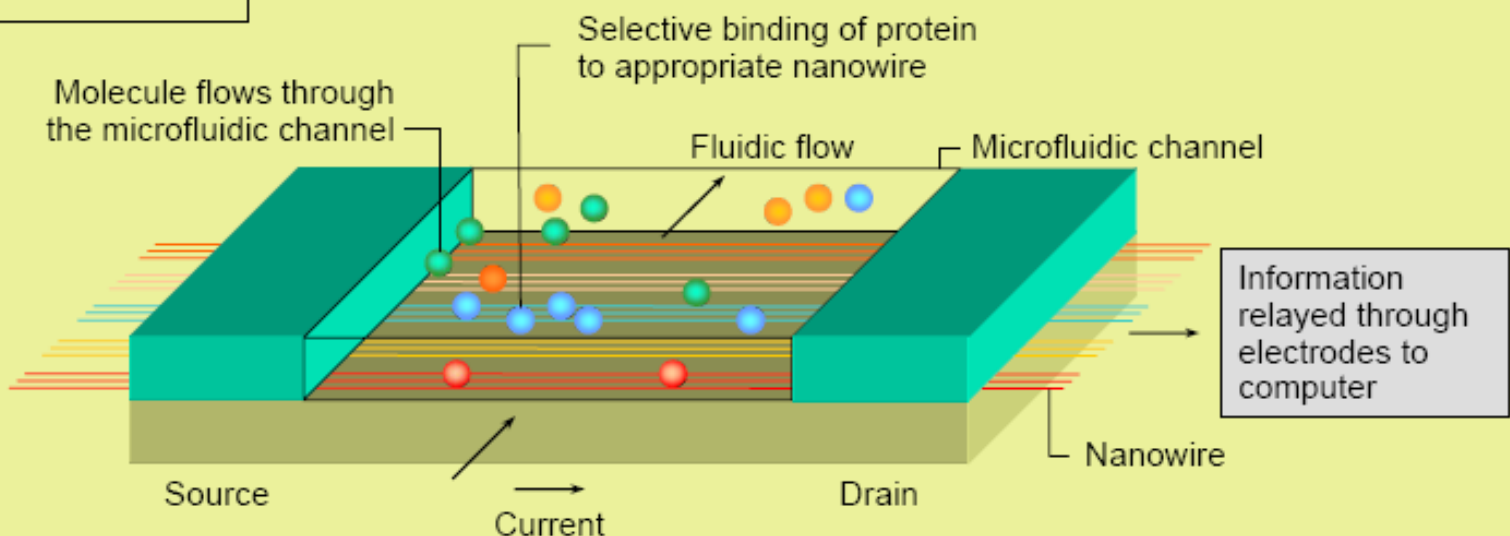
# Nanovlákna: medicínské aplikace: biomolekulární senzor

## *Silicon nanowire-based field-effect transistor*

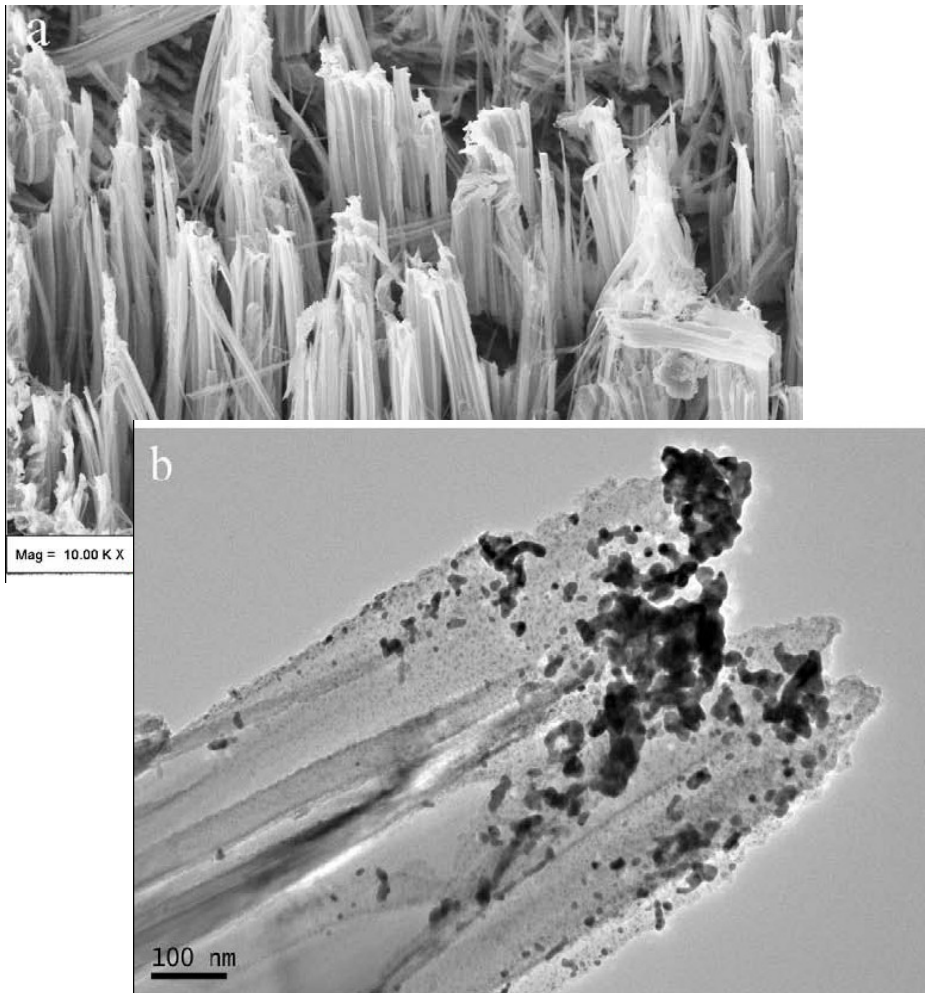
Electrical detection technology

Roszek et al.  
Medical Nanotechnology

**Applications:**  
**Virus detection**  
**Cancer markers**  
**Cystic fibrosis**



# Nanovlákna: medicínské aplikace: biomolekulární senzor



obr. a,b - povrch elektrod v podobě křemíkových nanovláken - vodičů, které jsou na povrchu modifikovány nanočásticemi zlata – výsledkem je voltametrický senzor s vysokou sorpční schopností (velká aktivní plocha v poměru k velikosti senzoru) a vysokou hodnotou vodivosti (v citované práci použito senzoru k detekci sérového albuminu)

Shancheng Yan et al, A novel biosensor based on gold nanoparticles modified silicon nanowire arrays, Journal of Electroanalytical Chemistry 641 (2010) 136–140

# Nanovlákna: medicínské aplikace: biomolekulární senzor

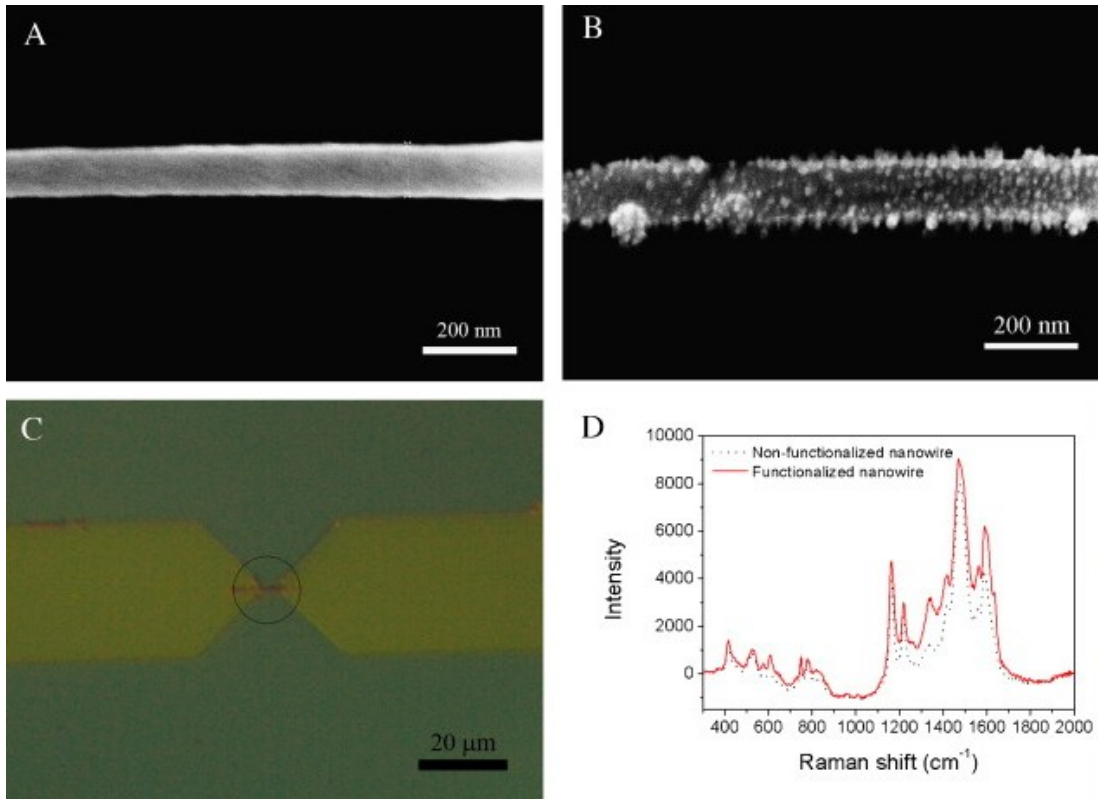


Fig. 1. (A) SEM obraz nemodifikovaného polyanilínového (PANI) nanovlákna (B) SEM obraz modifikovaného PANI nanovlákna IgG protilátkou. (C) Modifikované PANI nanovlákno protilátkou IgG značený fluorescenční sondou Texas Red (v kroužku). (D) Srovnání Ramanova spektra před a po modifikaci PANI nanovlákna

Biosenzor pro immunoglobulin G (IgG) and myoglobin (Myo) (cardiac biomarkry) tvořený polyanilinovým nanovlákem s protilátkami na svém povrchu protí IgG a Myo. Navázáním IgG či Myo dochází k změně elektrických vlastností tohoto senzoru (změna konduktance).

Innam Lee et al., Highly sensitive single polyaniline nanowire biosensor for the detection of immunoglobulin G and myoglobin, Biosensors and Bioelectronics, 26, 2011, p 3297-3302

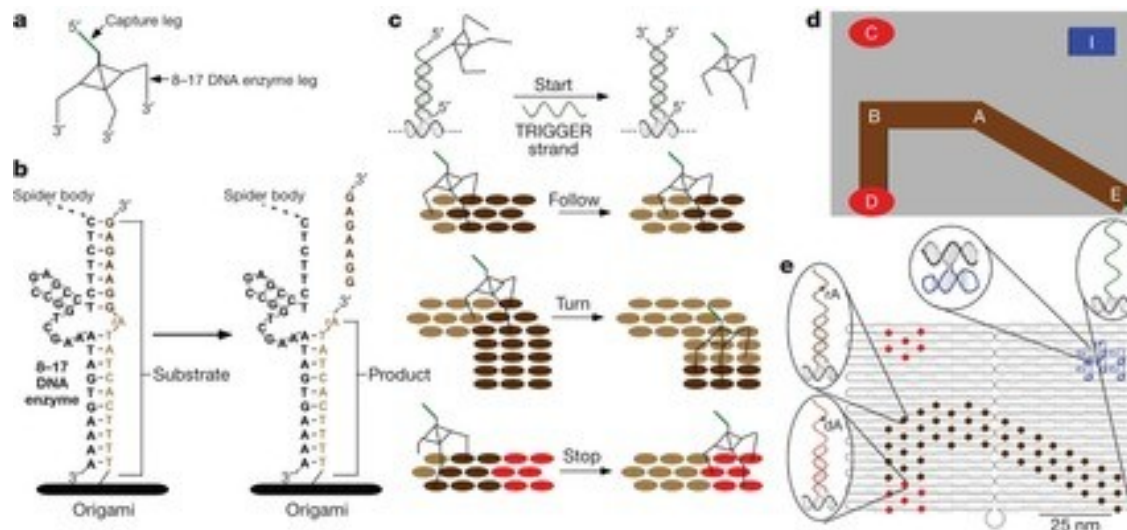
# Robotický nanosvět

## nanorobotika na bázi DNA

**Nature 2010 - Molecular robots guided by prescriptive landscapes – Lund et al.**

Autoři práce představili „nanopavouka“ z proteinu a DNA, který se dokáže pohybovat po trase předem naprogramované pomocí krátkých řetězců ss DNA.

Nanopavouk má tělo z bílkoviny streptavidin. Přes biotin (vitamin H) jsou k němu navázány čtyři krátké jednovláknové úseky DNA/enzym, celková velikost nanopavouka 4 nm. Trajektorie dána kompatibilitou ss DNA řetězců podložky a ss DNA řetězců tvořících „končetiny“. Je tedy řízen povely: „start“, „změň směr“ a „stop“

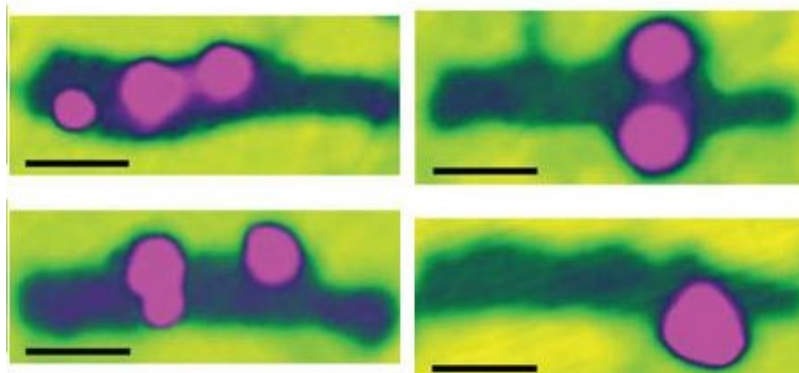


# Robotický nanosvět

## nanorobotika na bázi DNA

**Nature 2010 - A proximity-based programmable DNA nanoscale assembly line - Hongzhou et al**

Veřejnosti byl autory představen nanorobot (obdoba předešlého „nanopavouka“), realizovaný zkomponováním tří různých DNA struktur. Jeho jedinečnost spočívá v schopnosti přemístit z předem daného místa na předem dané místo až tři nanočástice zlata. Ke svému pohybu opět potřebuje matrici sestavenou z úseků ss DNA. Vzdálenost, kterou se tomuto kráčejícímu nanonosiči dosud podařilo překonat, nepřesáhla 200 nm.



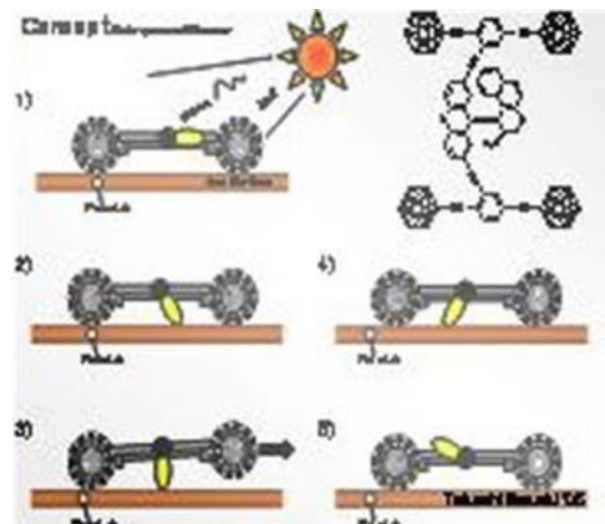
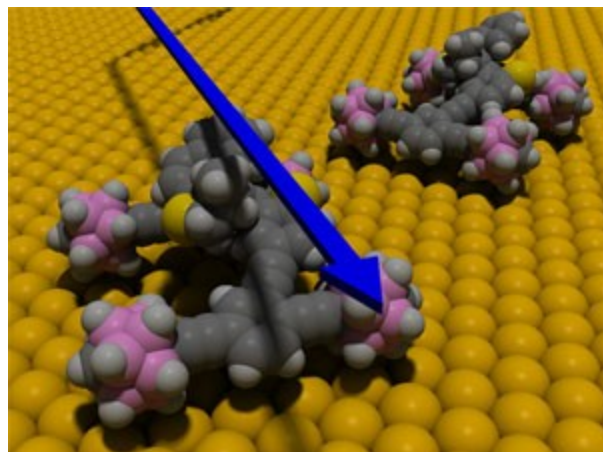
DNA přepravník – snímky z rastrovacího mikroskopu sledují pohyb zlatých nanočástic, které po předem naprogramované trase přepravuje miliontiny milimetru drobný kráčející nanorobot. Černá úsečka představuje měrku 50 nm.

# Robotický nanosvět

## nanorobotika na bázi organických molekul

Velikost molekuly „nanoauta“ jsou necelé 4 nm, „kola“ jsou tvořena molekulami p-karboranu, „motor“ kombinací benzenových jader. Při ozáření elektromagnetickou vlnou dojde k jejímu pohlcení centrální molekulou a tato začne rotovat a odrážet a postrkovat po podložce celé „nanoauto“. Údajná rychlosť pohybu je 2 nm za minutu.

[www.newscientist.com](http://www.newscientist.com)



Princip pohybu nanoauta (Rice University)

Některé konkrétní z využívaných nanotechnologií v onkologii:

- Zapouzdřené zlaté nanočástice – zlaté nanočástice zapouzřené např. polyaminoaminy. Modifikace pouzdra - na aminových skupinách obalu může být navázána např. kyselina listová. Tato má funkci zprostředkovatele cílené vazby na folátové receptory na buněčném povrchu některých nádorových buněk (např. epitelální karcinom). Využití – fototermická ablace
- Polymerové micely s cytostatikem – využití micel například jako nosičů cytostatik (adriamycin, doxorubicin), která jsou vázána v micelách pomocí pH senzitivních vazeb. Využití - cílené doručení a vyvázání léčiva lokální změnou pH
- Oxidy kovů – nanočástice, obsahující feromagnetickou látku po vystavení časově proměnnému magnetickému poli výrazně zvyšuje svoji teplotu (teplotní změna při mag. hysterezy) – terapie hypertermií
- Krystaly oxidu železa – zapouzdřené dextranem, na povrchu dextranového obalu modifikované peptidové řetězce, umožňující specifickou vazbu. Využití – onkologická diagnostika - kontrastní specificky se vázající látka pro MRI

# Nanotechnologie v onkologii (2) (NPO – Nano Particle Oncology)

Popis nanomateriálů využívaných v onkologii z strukturního a funkčního hlediska – tři hlavní složky:

- vlastní nanočástice
- komponenty dotvářející nanočástici a ovlivňující celkové chemické vlastnosti
- chemicky aktivní látky funkcionalizující nanočástici

Další možný popis složek z hlediska: molekulární struktury, biochemické aktivity, existencí vzájemných chemických vazeb, vzájemného prostorového uspořádání složek, tvaru a struktury, fáze (skupenství), fyzikálních a chemických vlastností, druhu aktivace/stimulace, druhu odpovědi/reakce na stimul

# Zdravotní rizika

- Nanočástice jsou na rozdíl od větších částic schopny procházet biologickými membránami do buněk, tkání a orgánů. Mohou proniknout do krevního oběhu po nadechnutí nebo pozření. Přinejmenším některé z nich mohou pronikat kůží. Jakmile se ocitnou v krvi, mohou být transportovány tělem a zachycovány v orgánech nebo tkáních včetně mozku, srdce, jater, ledvin, sleziny, kostní dřeně apod. Mohou proniknout do mitochondrií nebo buněčného jádra. Studie prokázaly možnost vyvolání mutací DNA a vyvolání strukturálních změn v mitochondriích, vedoucích dokonce ke smrti buňky.
- Nyní jsou na trhu stovky druhů spotřebního zboží obsahujících nanočástice, včetně kosmetiky, krémů na opalování, sportovního zboží, oděvů, elektroniky, výrobků pro děti a novorozence, potravin a obalů potravin.



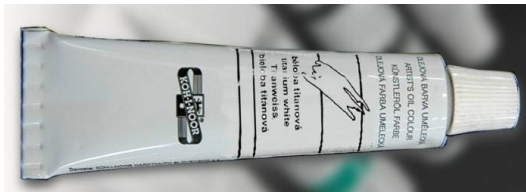
<http://www.nanotechproject.org/cpi/>

# Titanium dioxide nanoparticles in food and personal care products, Weir A et al, Environ Sci Technol. 2012, 46

Průměrná dávka připadající na dospělého američana - 1 mg nano TiO<sub>2</sub> na jeden kilogram tělesné hmotnosti.

Přibližně 5000 tun (5 000 000 kg) nano TiO<sub>2</sub> bylo použito v prostředcích pro osobní péči v roce 2010.

**Titanová běloba aneb E 171, průmerný člověk 80 kg \***  
 $365 \text{ dní} * 1 \text{ mg} = 29\,200 \text{ mg} = 29,2 \text{ g TiO}_2$  ( jedna kostka cukru cca 10 g, lžička mouky cca 7 g)



## TITANOVÁ BĚLOBA KA-100

Oxid titanicič (Anatas) typ KA 100 (výrobce Scheruhn Industrie Mineralien)

**Klasifikace:** ISO 5911:1977

Titanová běloba je bílý jemný prášek bez zápachu. Titanová běloba A 01 je nemikronizovaný, nemodifikovaný, povrchově neupravený anatasový pigment. Titanová běloba je nejedovatá.

### Použití:

- Pro výrobu vnitřních, na vzduchu schnoucích nátěrových hmot, vodních i nevodních systémů.
- Pro výrobu základních i podlahových barev.
- K přiměřené plnění papíroviny a stavebních materiálů.
- Při výrobě plastových hmot, pro výrobu podlahových krytin.

### Kvalitativní a fyzikální parametry:

|                          |               |
|--------------------------|---------------|
| Obsah TiO <sub>2</sub>   | min. 98,5%    |
| Vlhkost při 105 °C       | max. 0,4%     |
| Zbytek na síle(0,045 mm) | max. 0,05%    |
| Spotřeba oleje           | max. 22g/100g |
| pH vodného výluhu        | – 6,5-8,0     |
| Jasnost                  | min. 98%      |

### Balení:

papírové pytle 25 kg netto, na paletě 1000kg

### Země původu suroviny:

Čína

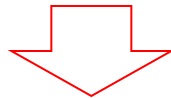
# Bezpečnost NPs v EU ...například...

- KOMISE EVROPSKÝCH SPOLEČENSTVÍ,

s ohledem na Smlouvu o založení Evropského společenství, a zejména na články 152 a 153 této smlouvy vydala rozhodnutí komise 2008/721/ES o zřízení poradní struktury vědeckých výborů a odborníků v oblasti bezpečnosti spotřebitele, veřejného zdraví a životního prostředí

Zřízeny tři vědecké výbory:

- Vědecký výbor pro spotřební zboží (VVSZ),
- Vědecký výbor pro zdravotní a environmentální rizika (VVZER)
- **Vědecký výbor pro vznikající a nově zjištěná zdravotní rizika (VVVNZZR).**



- Poskytuje stanoviska v otázkách vznikajících nebo nově zjištěných zdravotních a environmentálních rizik a v obecných, komplexních nebo multidisciplinárních otázkách vyžadujících souhrnné posouzení rizik pro bezpečnost spotřebitele nebo veřejné zdraví, jakož i v souvisejících otázkách, kterými se nezabývají jiné subjekty Společenství pro posouzení rizik. .... **nanotechnologie**....

# Bezpečnost NPs v ČR ...

Oblast nanotechnologií legislativně v souladu s EU řešena např. :

Parlament České republiky, POSLANECKÁ SNĚMOVNA, 2008, 5. volební období, 294.

**USNESENÍ** výboru pro evropské záležitosti ze 40. schůze konané dne 6. listopadu 2008 ke Sdělení Komise Evropskému parlamentu, Radě a Evropskému hospodářskému a sociálnímu výboru – **regulační aspekty nanomateriálů** /kód dokumentu 11010/08, KOM(2008) 366 v konečném znění/ ...mimo jiné říká že ...V ČR neexistuje národní program pro nanotechnologie a jejich využívání. Největším programem v této oblasti je výzkumný program Nanotechnologie pro společnost, který byl schválen usnesením vlády ČR č. 1006 ze dne 17. srpna 2005 na období 2006 – 2012 a který je realizován na půdě Akademie věd ČR. ...

EU

→ Usnesení Evropského parlamentu ze dne 24. dubna 2009 o regulačních aspektech nanomateriálů (2008/2208(INI))



v znění usnesení... bod 25. ...domnívá se, že **je třeba zavčas vypracovat přísné etické pokyny, zejména pokud jde o nanomedicínu**, které by se týkaly např. práva na soukromí, svobodného a informovaného souhlasu či neterapeutických zásahů prováděných na lidském těle, avšak zároveň je třeba podpořit tuto perspektivní mezioborovou oblast, která uplatňuje průlomové technologie, jako jsou molekulární zobrazování a diagnostika, což může velmi výrazně napomoci včasnému stanovení diagnózy a intelligentní a účinné léčbě mnoha chorob; žádá Evropskou skupinu pro etiku ve vědě a nových technologiích o vydání stanoviska na toto téma, v němž naváže na své stanovisko č. 21 ze dne 17. ledna 2007 o etických aspektech nanomedicíny a přihlédne k etickému názoru, jež uveřejnily subjekty zabývající se etikou v jednotlivých členských státech EU, a k práci vynaložené mezinárodními organizacemi jako např. UNESCO;

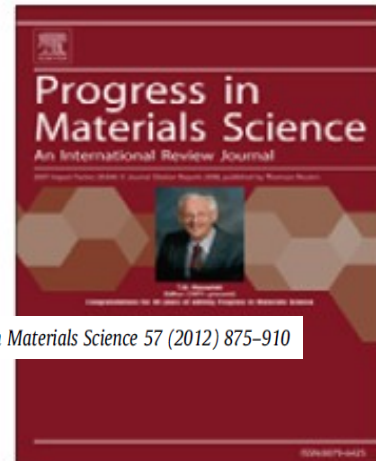
# Current status and future prospects of nanotechnology in cosmetics

Albert Mihranyan\*, Natalia Ferraz, Maria Strømme\*

*Nanotechnology and Functional Materials, Department of Engineering Sciences, Uppsala University, Box 534, 75121 Uppsala, Sweden*

**Table 2**  
Examples of nanomaterials currently marketed as cosmetic products.

| Class                          | Material                                         | Action                                        | Product example                                                                                                             |
|--------------------------------|--------------------------------------------------|-----------------------------------------------|-----------------------------------------------------------------------------------------------------------------------------|
| Active Metals and metal oxides | Arbutin                                          | Whitening                                     | Nano Bright™                                                                                                                |
|                                | ZnO                                              | Sunscreen                                     | ZinClear-IM™                                                                                                                |
|                                | Ag                                               | Antibacterial                                 | GNS Nanogist; Susie-K Nano Beauty Soap                                                                                      |
|                                | Fe <sub>x</sub> O <sub>y</sub>                   | Concealer                                     | Mineral foundation                                                                                                          |
|                                | Au                                               | Conjugated silk microfiber                    | Chantecaille Nano Gold Energizing Cream; Nanorama                                                                           |
|                                | Pt/Ag                                            | Absorptive NP                                 | <i>Platinum Silver Nanocolloid Milky Essence</i>                                                                            |
|                                | ZnO/Ti <sub>x</sub> O <sub>y</sub>               | Concealer                                     | <i>Face Brushes™ After Glow Brush and Brush Colores; Sunforgettable™</i>                                                    |
| Carbon                         | Ti <sub>x</sub> O <sub>y</sub>                   | Sunscreen                                     | Soltan®                                                                                                                     |
|                                | Al/Al <sub>2</sub> O <sub>3</sub>                | Concealer                                     | Alusion™                                                                                                                    |
|                                | Ag/Ti <sub>x</sub> O <sub>y</sub>                | Hair care                                     | <i>Nano Weight Pro 1800</i>                                                                                                 |
|                                | Fullerenes                                       | Free radical inhibition                       | <i>Zelens®; Radical Sponge®</i>                                                                                             |
| Nanoclays and silica           | Fullerosomes                                     | Free radical inhibition                       | <i>Sircuit®</i>                                                                                                             |
|                                | SiO <sub>2</sub>                                 | Tightens skin, delivery of active ingredients | LEOREX®; Rénergie®                                                                                                          |
|                                | SiO <sub>2</sub> /Me <sub>x</sub> O <sub>y</sub> | Sunscreen                                     | <i>Eusolex® UV Pearls Dual Finish Pressed Compacts</i>                                                                      |
| Vesicular lipid nanocarriers   | Mica/ZnO/ Ti <sub>x</sub> O <sub>y</sub>         |                                               |                                                                                                                             |
|                                | Liposomes, ceramides, nanoemulsions              | Delivery of active ingredients                | Revitalift®; Lyphazome®; Celazome®; Psorinel Lotion; Hydra Zen® anti-cellulite                                              |
| Solid lipid nanoparticles      | Ethosomes                                        |                                               |                                                                                                                             |
|                                | Solid lipids                                     | Delivery of active ingredients                | Lipopearl™; Nanopearl™                                                                                                      |
|                                | Wax                                              | Hair styling                                  | Pureology®                                                                                                                  |
|                                | Solid lipids                                     | Delivery of active ingredients                | Swiss Cellular™ White Illuminating Eye Essence; Olivenöl™ Anti Falten Pflege; IOPE™ Super Vital Cream; SURMER™ Creme Legere |
|                                |                                                  |                                               |                                                                                                                             |
| Native and modified polymers   | Modified polyaminoacids                          | Skincare                                      | Collamin_G™                                                                                                                 |
|                                | Hyaluronic acid                                  | Moisturiser                                   | PowerMoist™ Nano Hyaluronic acid <i>bīm-ə-nē</i> ®                                                                          |
| Synthetic polymers             | Collagene                                        | Skincare                                      |                                                                                                                             |
|                                | Nanocapsules                                     | Delivery of active ingredients                | Primordiale Intense; Hydra Flash® Bronzer                                                                                   |



# Zdravotní rizika

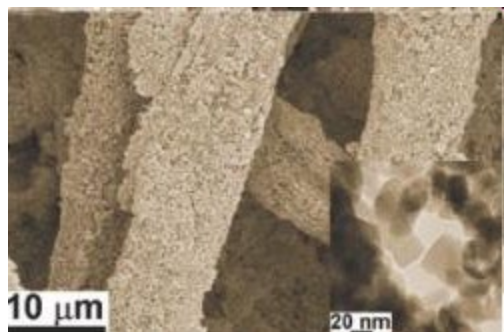
...například...

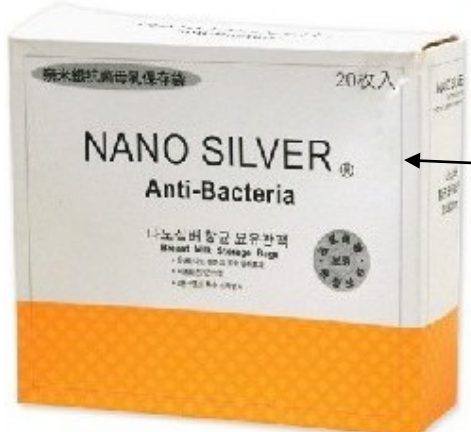
*Silver nanoparticles as a safe preservative for use in cosmetics, Satoshi Kokura et al., Nanomedicine: Nanotechnology, Biology, and Medicine 6 (2010) 570–574*

Autoři této práce studovali účinky a působení stříbrných nanočástic v dermatologickém krému z hlediska baktericidního, fungicidního působení, jejich toxicity a průniku do tkáně.

Výsledek studie: „**In this study, the effects of recently synthesized Ag nanoparticles were investigated on microorganisms, along with the skin permeability and the cytotoxicity in human keratinocytes under UVB-irradiation. Ag nanoparticles were found to be very stable, showed sufficient preservation efficacy against mixed bacteria and mixed fungi, and did not penetrate normal human skin. Ag nanoparticles appear to be suitable for use as a preservative in cosmetics.**“

Jiná studie autorů **Gulson a Wright** (*Small Amounts of Zinc from Zinc Oxide Particles in Sunscreens Applied Outdoors Are Absorbed through Human Skin, Toxicological Sciences, Volume 118, 2010, 140-149*), zaměřená na opalovací krémy s krystaly **oxidu zinečnatého** (UV ochrana) ukazuje, že tyto nanočástice pronikají přes kůži do tkání organismu. Daná studie ale poukazuje na fakt, že při vhodných koncentracích nejsou tyto nanočástice pro organismus toxiccké (*Independent cytotoxic and inflammatory responses to zinc oxide nanoparticles in human monocytes and macrophages, Feltis et al., Nanotoxicology 1-9*), protože jsou v dostatečném množství organismem odstraňovány s dalšími metabolity.





Nano Silver

MUNI  
MED